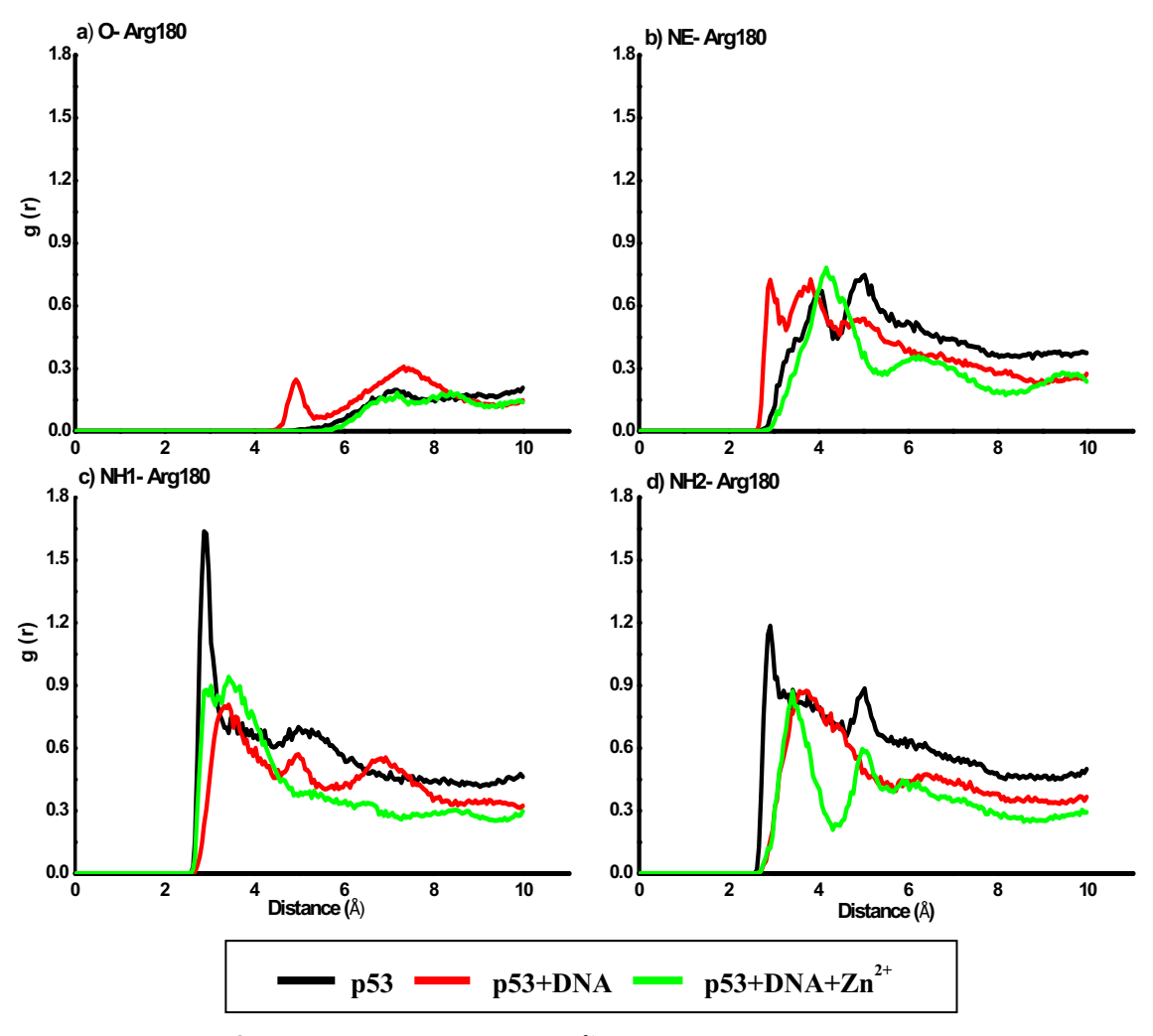
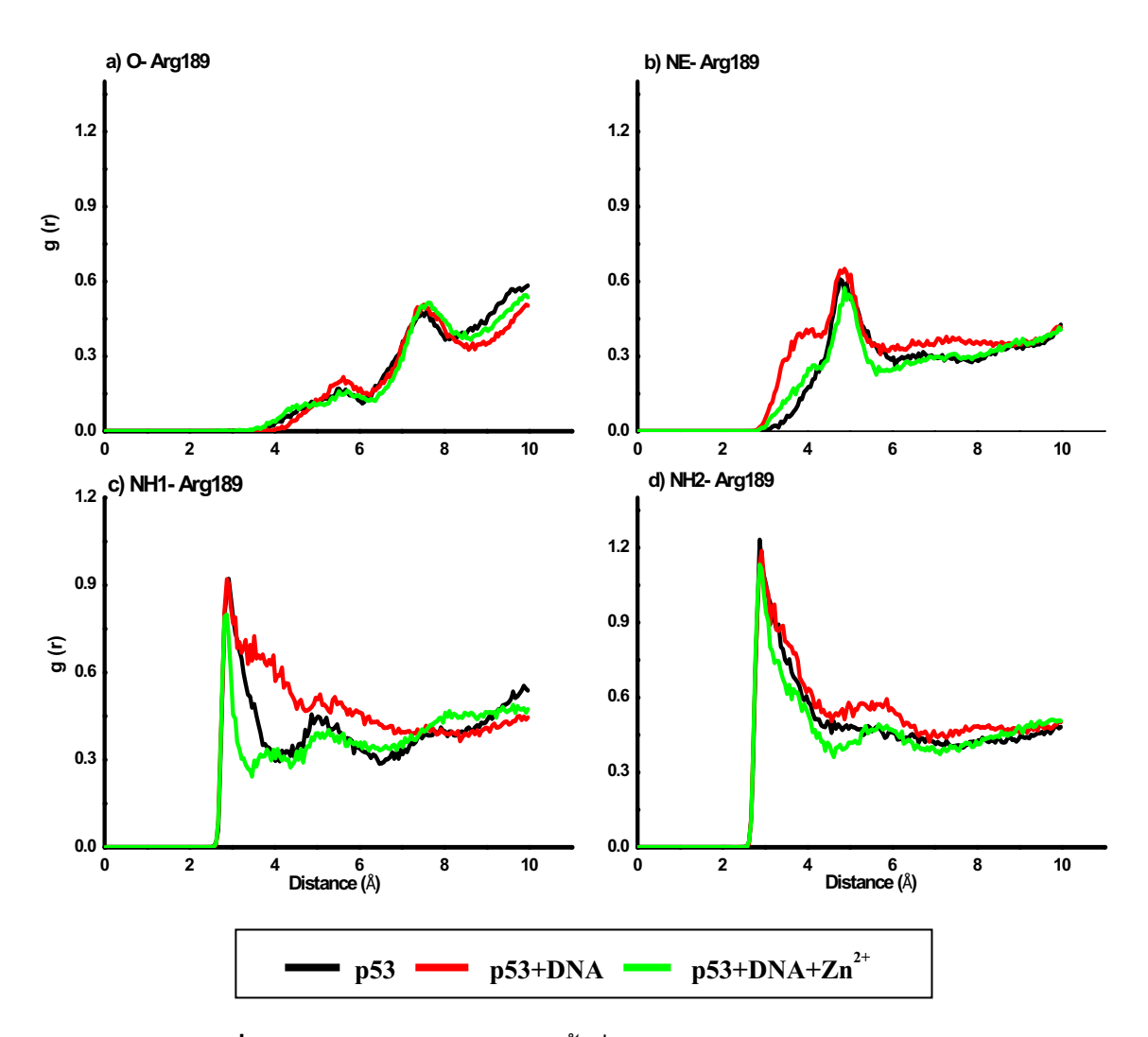
#### • Arginine ลำดับที่ 180 ของโปรตีน p53 (Arg180)



ร**ูปที่ 50** กราฟ RDF ของโมเลกุลน้ำที่อยู่ล้อมรอบอะตอมของ Arg180

จากกราฟรูปที่ 50 แสดงให้เห็นว่ารอบ ๆ อะตอม NE, NH1 และ NH2 ของทั้ง 3 ระบบพบ น้ำในลักษณะเดียวกันโดยพบที่รัศมี 2.5 Å แต่น้ำมีลักษณะที่เป็น bulk ซึ่งโมเลกุลของน้ำ สามารถเคลื่อนที่เข้า-ออกได้ตลอดเวลาในขณะที่อะตอม O พบน้ำที่รัศมีมากกว่า 4 Å ซึ่งเป็นน้ำ ที่ไม่มีความสำคัญจึงไม่นำไปวิเคราะห์ผลต่อ

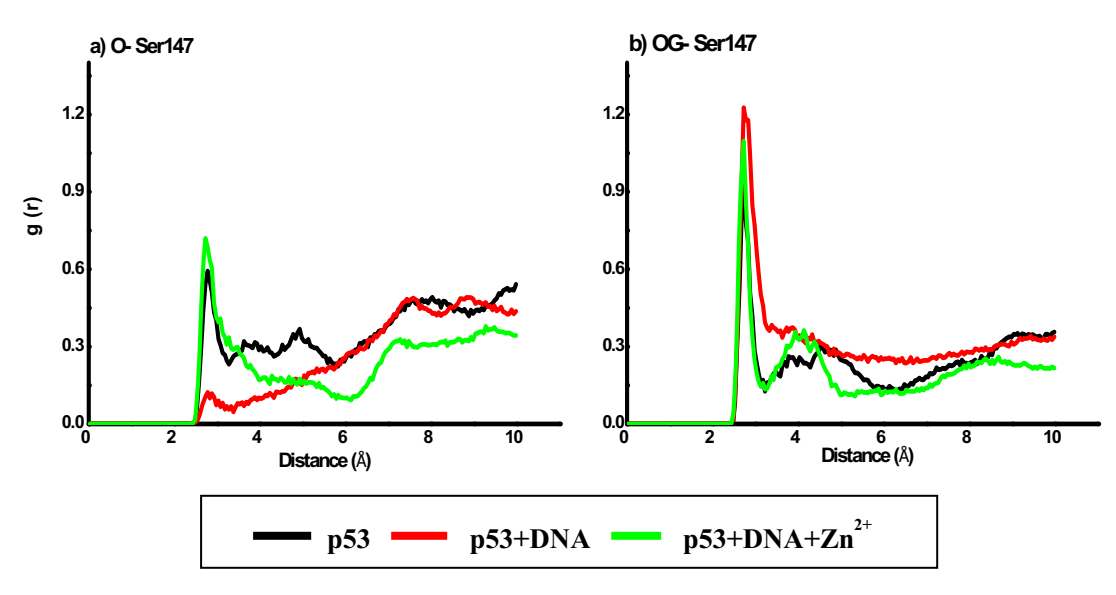
### ● Arginine ลำดับที่ 189 ของโปรตีน p53 (Arg189)



ร**ูปที่ 51** กราฟ RDF ของโมเลกุลน้ำที่อยู่ล้อมรอบอะตอมของ Arg189

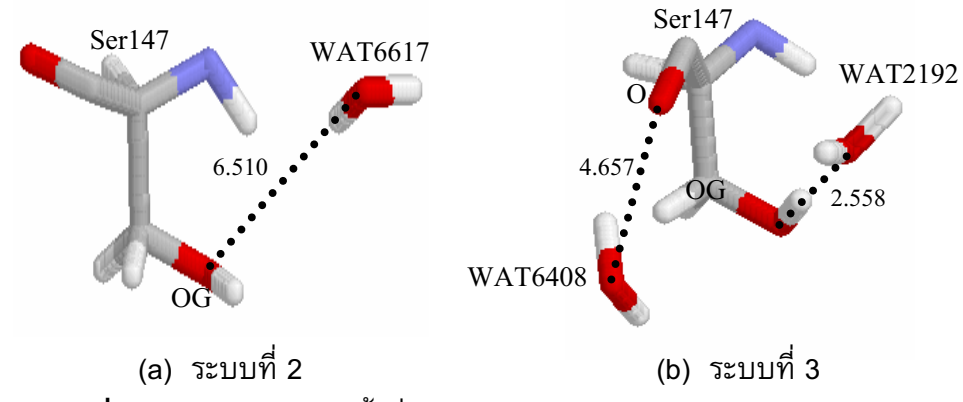
จากกราฟรูปที่ 51 แสดงให้เห็นว่ารอบ ๆ อะตอม NH1 และ NH2 ของทั้ง 3 ระบบพบน้ำใน ลักษณะเดียวกันโดยพบที่รัศมี 2.5 Å แต่น้ำมีลักษณะที่เป็น bulk ซึ่งโมเลกุลของน้ำสามารถ เคลื่อนที่เข้า-ออกได้ตลอดเวลาในขณะที่อะตอม NE, O พบน้ำที่รัศมีมากกว่า 4 Å ซึ่งเป็นน้ำที่ ไม่มีความสำคัญจึงไม่นำไปวิเคราะห์ผลต่อ

#### ● Serine ลำดับที่ 147 ของโปรตีน p53 (Ser147)

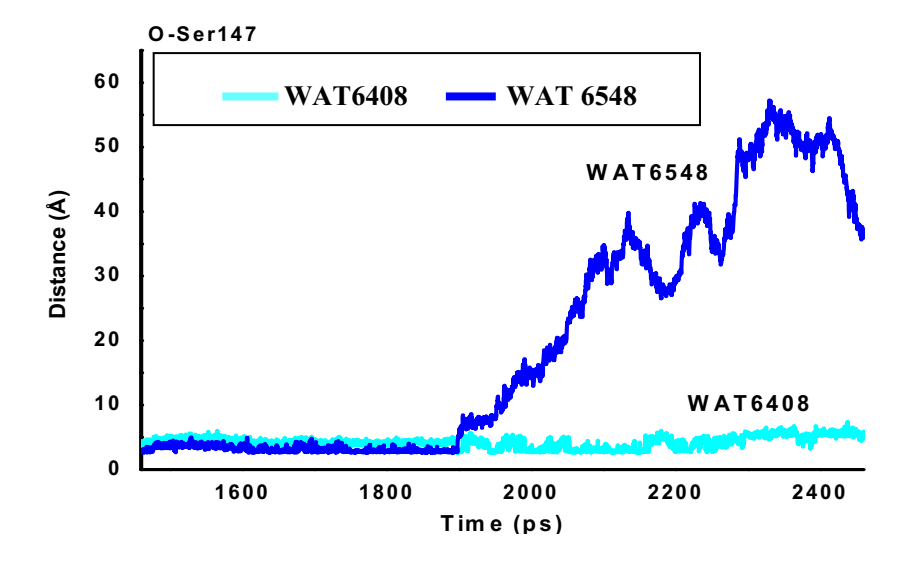


ร**ูปที่ 52** กราฟ RDF ของโมเลกุลน้ำที่อยู่ล้อมรอบอะตอม Ser147

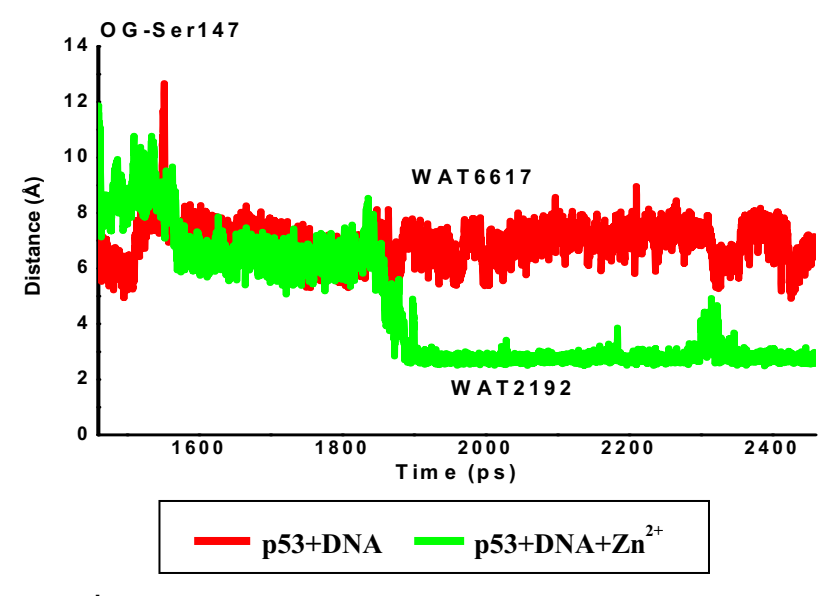
จากกราฟรูปที่ 52 แสดงให้เห็นว่ารอบๆ อะตอม O และ OG ของทั้ง 3 ระบบจะพบน้ำใน ลักษณะที่เหมือนกัน จากรูปที่ 52(a) ระบบที่ 1 และ 2 พบน้ำในบริเวณใกล้เคียงอะตอม O ที่ รัศมี 2.5 Å แต่เป็นน้ำที่มีลักษณะเป็น bulk ในขณะที่ระบบที่ 3 จะพบน้ำในลักษณะที่เป็นชั้นน้ำ เมื่อวิเคราะห์พบน้ำลำดับที่ 6408 ดังแสดงในรูปที่ 53 เมื่อวิเคราะห์หาระยะห่างระหว่าง O ของ โมเลกุลน้ำกับ O ของ Ser147 จะได้กราฟดังแสดงในรูปที่ 54 และจากรูปที่ 52(b) จะเห็นว่าทั้ง 3 ระบบ พบน้ำในลักษณะที่เป็นชั้นน้ำที่รัศมี 2.5 Å โดยระบบที่ 1 เมื่อนำมาวิเคราะห์ไม่สามารถ ระบุตำแหน่งของน้ำได้ ในขณะที่ระบบที่ 2 และ 3 สามารถระบุบตำแหน่งน้ำได้ ซึ่งระบบที่ 2 พบน้ำลำดับที่ 6617 และระบบที่ 3 พบน้ำลำดับที่ 2192 ดังแสดงในรูปที่ 53 เมื่อวิเคราะห์หา ระยะห่างระหว่าง O ของโมเลกุลน้ำกับ OG ของ Ser147 จะได้กราฟดังแสดงในรูปที่ 55



ร**ูปที่ 53** ตำแหน่งโมเลกุลน้ำที่พบในบริเวณรอบ ๆ อะตอมของ Ser147

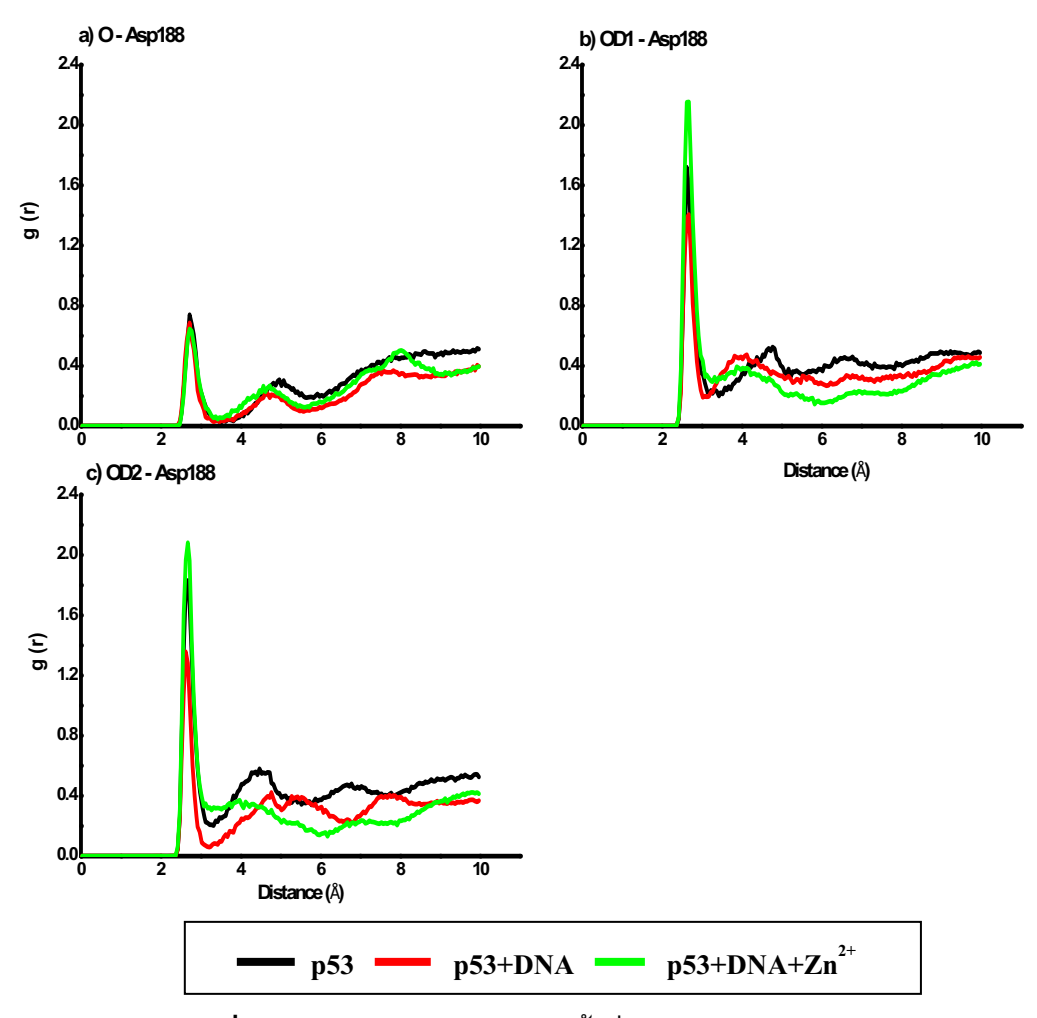


ร**ูปที่ 54** กราฟแสดงความสัมพันธ์ของระยะห่างระหว่างอะตอม O ของน้ำ กับอะตอม O ของ Ser147 ในระบบที่ 3 เทียบกับเวลา



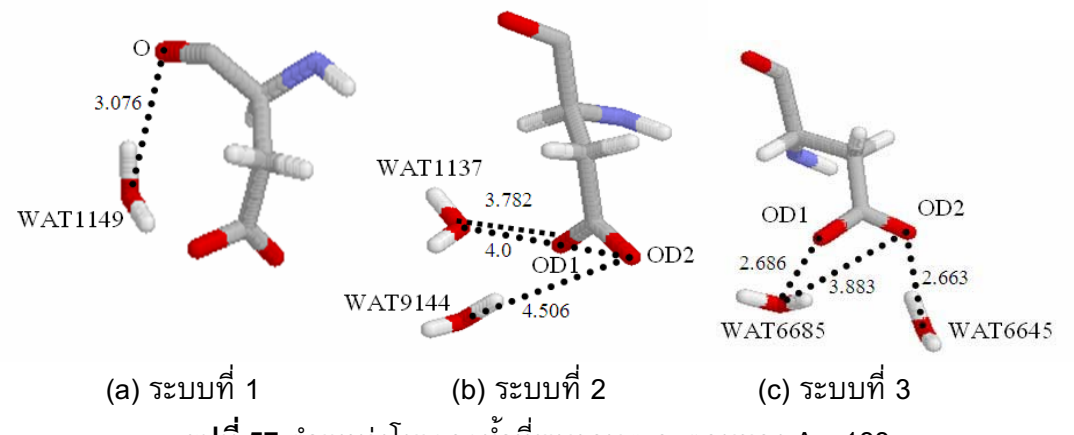
ร**ูปที่ 55** กราฟแสดงความสัมพันธ์ของระยะห่างระหว่างอะตอม O ของน้ำ กับอะตอม OG ของ Ser147 เทียบกับเวลา

#### ● Aspartic acid ลำดับที่ 188 ของโปรตีน p53 (Asp188)

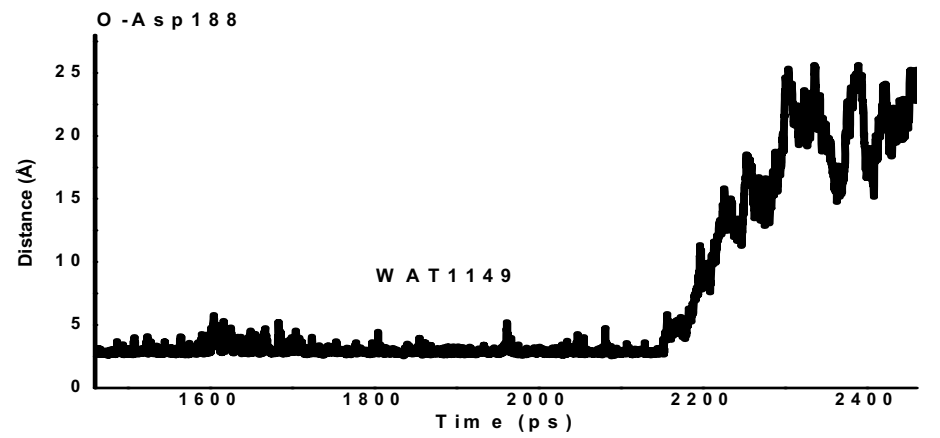


ร**ูปที่ 56** กราฟ RDF ของโมเลกุลน้ำที่อยู่ล้อมรอบอะตอม Asp188

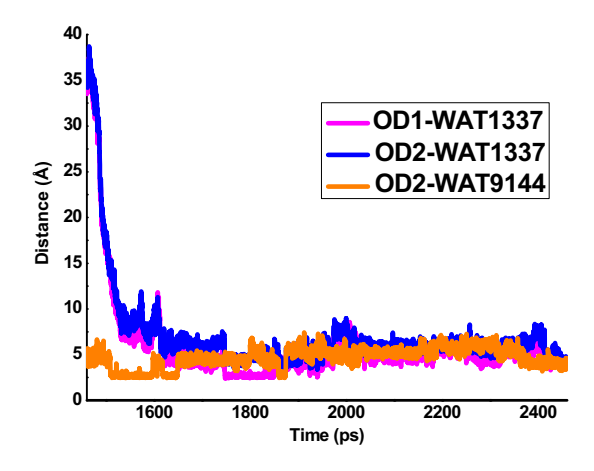
จากกราฟรูปที่ 56 แสดงให้เห็นว่ารอบ ๆ อะตอม O, OD1 และ OD2 ของทั้ง 3 ระบบจะพบ น้ำในลักษณะที่เหมือนกัน จากรูปที่ 56(a) จะเห็นว่าทั้ง 3 ระบบ พบน้ำในลักษณะที่เป็นชั้นน้ำ ที่รัศมี 2.5 Å โดยระบบที่ 2 และ 3 เมื่อนำมาวิเคราะห์ไม่สามรถระบุตำแหน่งได้ ขณะที่ระบบที่ 1 พบน้ำลำดับที่ 1149 ดังแสดงในรูปที่ 57 เมื่อวิเคราะห์หาระยะห่างระหว่าง O ของน้ำกับ O ของ Asp188 จะได้กราฟดังแสดงในรูปที่ 58 ในขณะที่รูปที่ 56(b), (c) พบว่าทั้ง 3 ระบบ พบน้ำ ในลักษณะที่เป็นชั้นน้ำที่รัศมี 2.5 Å โดยระบบที่ 1 เมื่อนำมาวิเคราะห์ไม่สามรถระบุตำแหน่งได้ ในขณะที่ระบบที่ 2 พบน้ำที่เข้ามาใกล้อะตอม OD1 และ OD2 คือน้ำลำดับที่ 1137, 9144 ตามลำดับ และ ระบบที่ 3 พบน้ำที่เข้ามาใกล้อะตอม OD1 และ OD2 คือน้ำลำดับที่ 6685, 6645 ตามลำดับ ดังแสดงในรูปที่ 57 เมื่อวิเคราะห์หาระยะห่างระหว่าง O ของน้ำกับ ของ OD1 และ OD2 ของ Ser147 จะได้กราฟดังแสดงในรูปที่ 59 และรูปที่ 60 ตามลำดับ



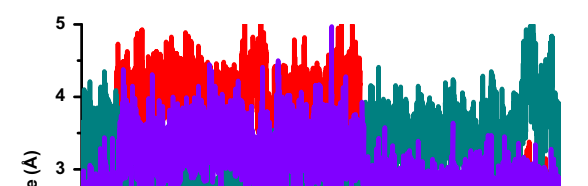
รูปที่ 57 ตำแหน่งโมเลกุลน้ำที่พบรอบๆ อะตอมของ Asp188



ร**ูปที่ 58** กราฟแสดงความสัมพันธ์ของระยะห่างระหว่างอะตอม O ของน้ำ กับอะตอม O ของ Asp188 ในระบบที่ 1 เทียบกับเวลา



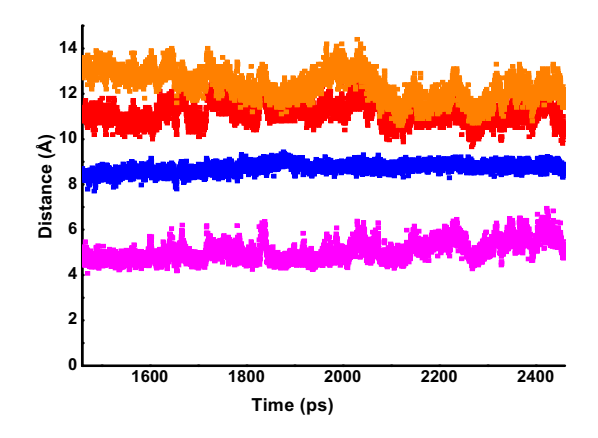
ร**ูปที่ 59** กราฟแสดงความสัมพันธ์ของระยะห่างระหว่างอะตอม O ของน้ำ กับอะตอม O, OD1, OD2 ของ Asp188 ในระบบที่ 2 เทียบกับเวลา



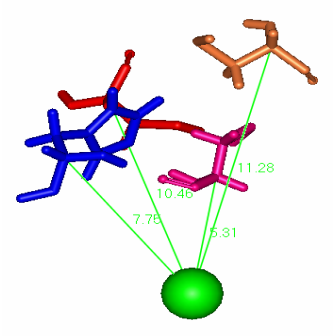
# ร**ูปที่ 60** กราฟแสดงความสัมพันธ์ของระยะห่างระหว่างอะตอม O ของน้ำ กับอะตอม OD1, OD2 ของ Asp188 ระบบที่ 3 เทียบกับเวลา

#### 8. ระยะห่างระหว่างไอออน Zn² ีกับอะตอมที่ล้อมรอบ

จากโครงสร้าง x-ray crystallography พบว่ากรดอะมิโนที่อยู่ล้อมรอบ  $Zn^{2+}$  มี 4 ดำแหน่งคือ ได้แก่ Cys83, His86, Cys145 และ Cys149 เมื่อวิเคราะห์หาระยะห่างระหว่าง  $Zn^{2+}$  กับอะตอม คาร์บอนแอลฟา (CA) ของ Cys83, His86, Cys145 และ Cys149 จะได้ค่าเท่ากับ 4.27, 4.53, 3.75 และ 4.57 ตามลำดับ เมื่อนำโครงสร้างจากการศึกษาด้วยวิธี MD simulation มาหาระยะห่างอีกครั้ง จะได้กราฟดังแสดงในรูปที่ 61 พบว่ากรดอะมิโน ณ ตำแหน่ง Cys83 มีระยะห่างคงที่เท่ากับ โครงสร้าง x-ray crystallography ในขณะที่ His86, Cys145 และ Cys149 มีระยะห่างที่เพิ่มขึ้นกว่า โครงสร้าง x-ray crystallography ดังรูปที่ 62 ซึ่งแสดงว่า  $Zn^{2+}$  มีการเคลื่อนที่ออกจากตำแหน่งยึด จับของ  $Zn^{2+}$  เดิม



ร**ูปที่ 61** กราฟแสดงความสัมพันธ์ของระยะห่างระหว่าง Zn<sup>2+</sup> กับ CA ของ Cys83 (—), His86(—), Cys145(—) และ Cys149(—) เทียบกับเวลา

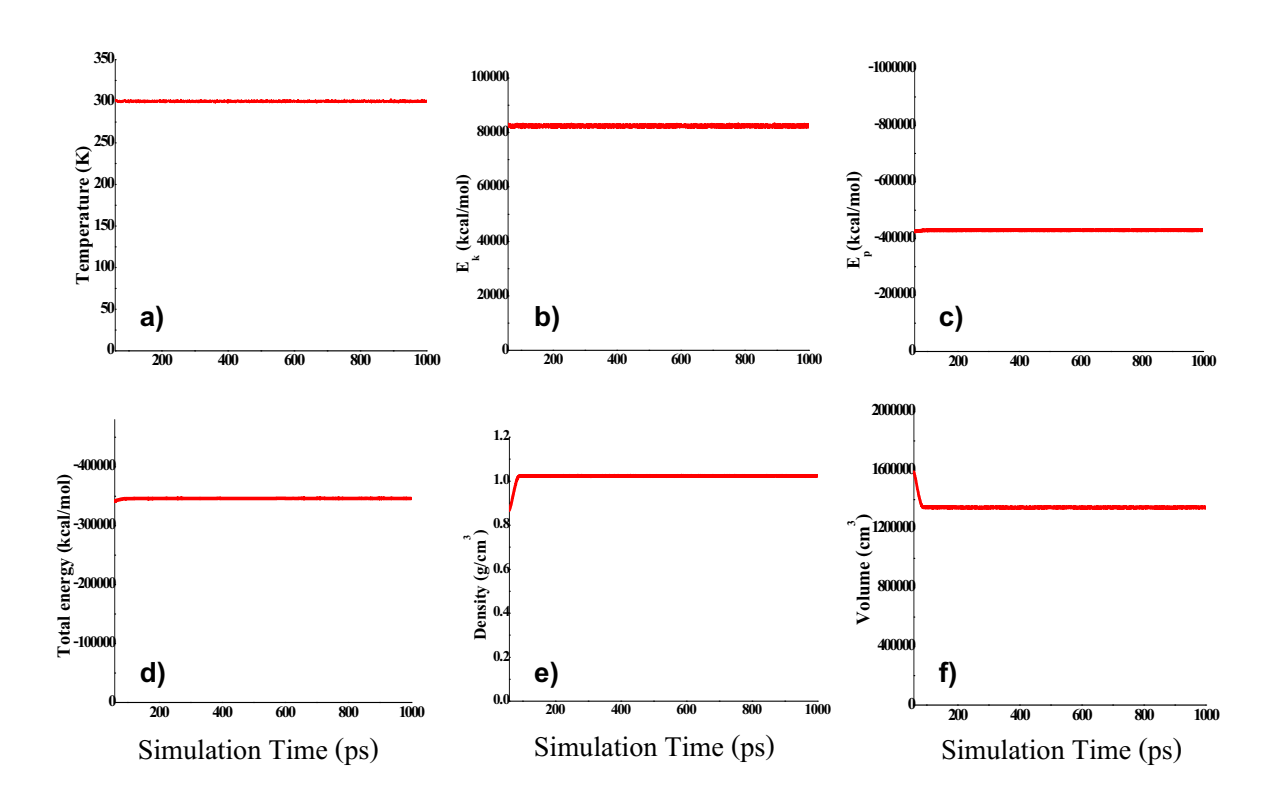


ร**ูปที่ 62** ระยะห่างระหว่าง Zn² กับ CA ของ Cys83, His86, Cys145 และ Cys149 ที่ได้จากการทำ MD simulation

#### <u>ตอนที่ 2</u> การศึกษา MD simulation ของ tetramer p53 ในส่วนที่เป็น core domain

#### 1. สภาวะของระบบ

การวิเคราะห์สภาวะสมดุลของระบบจะทำการวิเคราะห์หาค่าอุณหภูมิ, พลังงานจลน์, พลังงาน ศักย์, พลังงานรวม, ความหนาแน่น และปริมาตรของระบบในระหว่างการทำ MD simulation ซึ่ง ได้ผลการวิเคราะห์ดังนี้

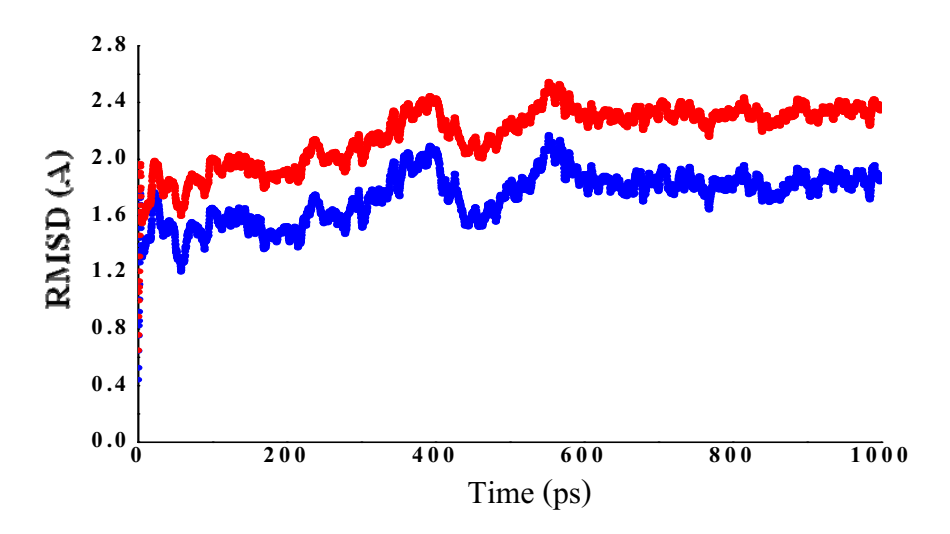


ร**ูปที่ 63** กราฟแสดงความสัมพันธ์ระหว่าง (a) อุณหภูมิ (b) พลังงานจลน์ (c) พลังงานศักย์ (d) พลังงานรวม (e) ความหนาแน่น และ (f) ปริมาตรของระบบ เปรียบเทียบกับเวลา

จากรูปที่ 63 แสดงให้เห็นว่าสารประกอบเชิงซ้อนของโปรตีน p53 เข้าสู่สภาวะสมดุลเรียบร้อย แล้วสังเกตได้จากค่าอุณหภูมิ, พลังงานศักย์, พลังงานจลน์, พลังงานรวม, ความหนาแน่น และ ปริมาตรของระบบมีค่าคงที่ตลอดช่วงการทำ MD simulation ซึ่งจะเห็นได้ว่าอุณหภูมิ (T) ของระบบ จะมีค่าเท่ากับ 300 K, พลังงานศักย์มีค่า 80000 kcal/mol, พลังงานจลน์มีค่า – 400000 kcal/mol, พลังงานรวมมีค่า – 350000 kcal/mol, ความหนาแน่นมีค่า 1.0 g/cm<sup>3</sup> และปริมาตรมีค่า 1300000 cm<sup>3</sup>

#### 2. การเปลี่ยนแปลงโครงสร้างของโปรตีน p53

ก่อนที่จะนำข้อมูลที่ได้จากการศึกษาไปวิเคราะห์หาปริมาณต่าง ๆจะต้องตรวจสอบก่อนว่าระบบ ที่ทำการศึกษามีความเสถียรหรือไม่ โดยพิจารณาจากค่า (RMSD) ซึ่งเป็นค่าที่แสดงถึงการ เปลี่ยนแปลงโครงสร้างของสารประกอบเชิงซ้อนโปรตีน p53 ณ เวลาใดๆ เปรียบเทียบกับโครงสร้าง เริ่มตัน ซึ่งถ้าค่า RMSD คงที่หรือมีการเปลี่ยนแปลงในช่วงแคบ แสดงว่าระบบนั้นมีการเปลี่ยนแปลงโครงสร้างน้อย ซึ่งถือว่าระบบมีความเสถียร ถ้าไม่คงที่แสดงว่าโครงสร้างที่ได้จากการทำ MD simulation มีการเปลี่ยนแปลงโครงสร้างตลอดเวลา ซึ่งถือว่าระบบไม่เสถียร แต่ถ้าค่า RMSD มีค่า มากหมายความว่าโครงสร้างที่ได้จากการทำ MD simulation กับโครงสร้างเริ่มต้นมีความแตกต่าง กันมาก แต่ถ้าค่า RMSD มีค่าน้อยแสดงว่าโครงสร้างที่ได้จากการทำ MD simulation ไม่แตกต่าง จากโครงสร้างเริ่มตัน

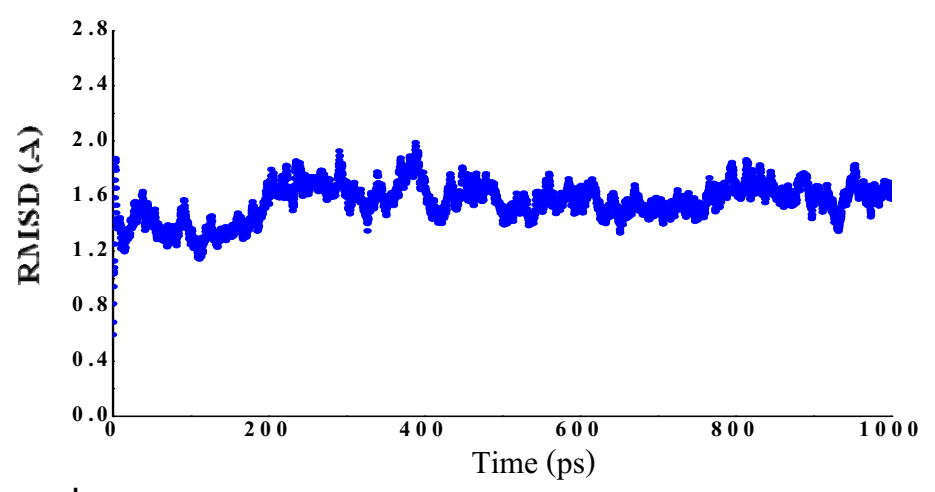


ร**ูปที่ 64** กราฟแสดงความสัมพันธ์ระหว่างค่า RMSD ของอะตอมที่เป็นสายโซ่หลักของโปรตีน p53 (สีน้ำเงิน) และอะตอมทั้งหมดของโปรตีน p53 (สีแดง) เทียบกับเวลา

จากกราฟรูปที่ 64 พบว่าค่า RMSD ของโปรตืน p53 เพิ่มขึ้นอย่างรวดเร็วในช่วงแรกซึ่งเป็นช่วง ที่ทั้งระบบมีการเพิ่มอุณหภูมิและมีการปรับโครงสร้างเพื่อทำให้ระบบมีความเสถียรหลังจากที่ โครงสร้างของระบบเข้าสู่สภาวะสมดุลแล้วจะพบว่าค่า RMSD จะมีการเปลี่ยนแปลงในช่วงแคบลง และมีค่าค่อนข้างคงที่ แสดงให้เห็นว่าระบบเข้าสู่สภาวะสมดุลแล้วในการวิเคราะห์สมบัติต่าง ๆของ

สารประกอบเชิงซ้อนของโปรตีน p53 จึงเลือกช่วงเวลา 760 - 1060 ps ซึ่งเป็นช่วงที่ระบบอยู่ใน สภาวะสมดุล นอกจากนี้ยังพบว่าค่า RMSD ของทุกอะตอมของโปรตีน p53 มีค่ามากกว่าค่า RMSD ของอะตอมที่เป็นสายโซ่หลักของโปรตีน p53 ทั้งนี้เนื่องจากการศึกษาทุกอะตอมของโปรตีน p53 จะ รวมเอา Side chain ของกรดอะมิโน ทำให้มีจำนวนอะตอมมากขึ้นและบริเวณ Side chain ยัง สามารถหมุนหรือเปลี่ยนมุมพันธะได้ง่ายซึ่งจะทำให้เกิดการเปลี่ยนแปลงโครงสร้างและส่งผลให้ค่า RMSD มากกว่าอะตอมที่เป็นสายโซ่หลัก ซึ่งประกอบด้วยอะตอม C, CA และ N อะตอมเท่านั้น

#### 3. การเปลี่ยนแปลงโครงสร้างของ DNA

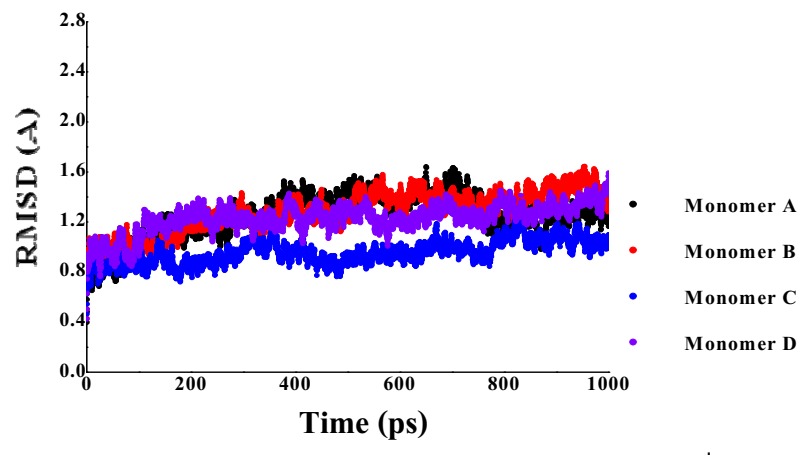


ร**ูปที่ 65** กราฟแสดงความสัมพันธ์ระหว่างค่า RMSD ของ DNA เทียบกับเวลา

จากกราฟรูปที่ 65 พบว่าค่า RMSD ของ DNA เพิ่มขึ้นอย่างรวดเร็วในช่วงแรกซึ่งเป็นช่วงที่ ระบบมีการเพิ่มอุณหภูมิและมีการปรับโครงสร้างเพื่อทำให้ระบบมีความเสถียรหลังจากที่โครงสร้าง ของระบบเข้าสู่สภาวะสมดุลแล้วจะพบว่าค่า RMSD จะมีการเปลี่ยนแปลงในช่วงแคบลง และมีค่า ค่อนข้างคงที่ เช่นเดียวกับโปรตีน p53

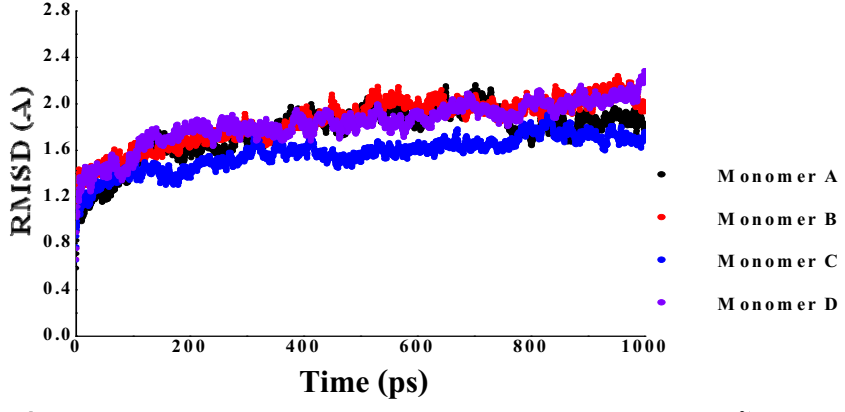
### 4. การเปลี่ยนแปลงโครงสร้างของโปรตีน p53 แต่ละโมโนเมอร์

จากการคำนวณหาค่า RMSD ของโปรตีน p53 แต่ละโมโนเมอร์จะได้ผลการทดลองดังกราฟใน รูปที่ 66 - 67



ร**ูปที่ 66** กราฟแสดงความสัมพันธ์ระหว่างค่า RMSD ของอะตอมที่เป็นสายโซ่หลัก ของโปรตีน p53 แต่ละโมโนเมอร์เทียบกับเวลา

จากกราฟรูปที่ 66 จะเห็นได้ว่าค่า RMSD ของอะตอมที่เป็นสายโช่หลักของโปรตีน p53 ในช่วง แรกมีการเพิ่มขึ้นอย่างรวดเร็วหลังจากนั้นในช่วงเวลา 760 - 1060 ps ค่า RMSD ของแต่ละโมโน เมอร์จะค่อนข้างคงที่ นอกจากนี้จะเห็นได้ว่าทั้ง 4 โมโนเมอร์ จะมีค่า RMSD ที่ใกล้เคียงกันโดยโมโนเมอร์ C จะมีค่า RMSD น้อยที่สุด แสดงว่าโปรตีน p53 แต่ละโมโนเมอร์มีโครงสร้างคล้ายกันและ แตกต่างจากโครงสร้างเริ่มต้นใกล้เคียงกัน โดยโมโนเมอร์ C จะมีการเปลี่ยนแปลงจากโครงสร้าง เริ่มต้นน้อยที่สุด

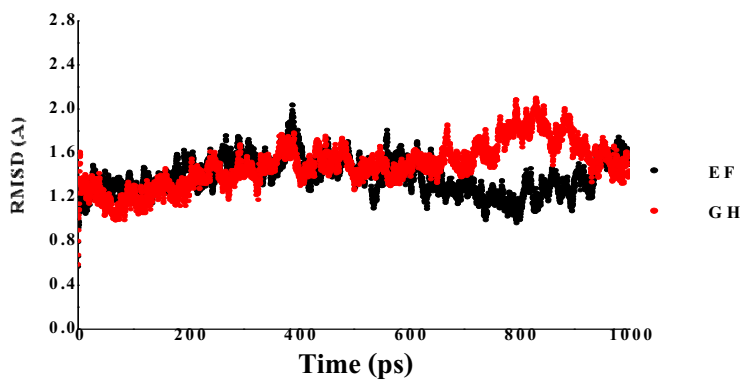


ร**ูปที่ 67** กราฟแสดงความสัมพันธ์ระหว่างค่า RMSD ของอะตอมทั้งหมด ของโปรตีน p53 แต่ละโมโนเมอร์เทียบกับเวลา

จากกราฟรูปที่ 67 จะเห็นได้ว่าค่า RMSD ของทุกอะตอมของโปรตีน p53 จะมีลักษณะคล้ายกับ การศึกษา RMSD ของอะตอมสายโซ่หลักของโปรตีน p53 ในรูปที่ 66 เพียงแต่ในรูปที่ 67 ค่า RMSD จะมีค่ามากกว่าเนื่องจากเป็นการศึกษาอะตอมทั้งหมด ซึ่งจะรวมเอา Side chain ของกรดอะ มิโนด้วย ทำให้จำนวนอะตอมมากขึ้น ค่า RMSD ในรูปที่ 67 จึงมากกว่ารูปที่ 66

#### 5. การเปลี่ยนแปลงโครงสร้างของ DNA แต่ละคู่สาย

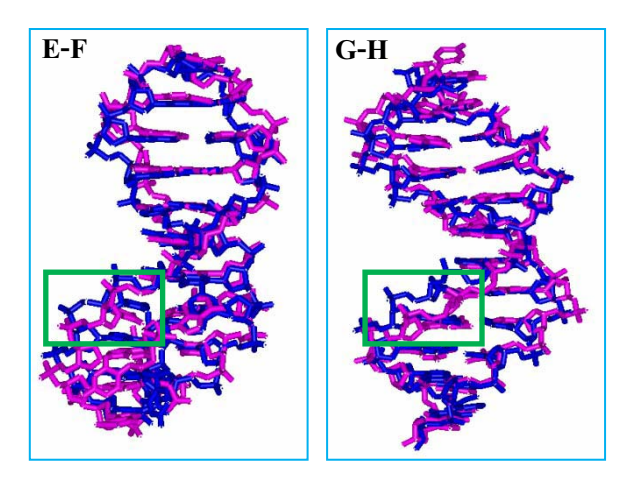
จากการคำนวณหาค่า RMSD ของ DNA แต่ละคู่สายได้ผลการทดลองดังรูปที่ 68



ร**ูปที่ 68** กราฟแสดงความสัมพันธ์ระหว่างค่า RMSD ของ DNA แต่ละคู่สายเทียบกับเวลา

จากกราฟรูปที่ 68 แสดงให้เห็นค่า RMSD ของ DNA ในแต่ละคู่ คือ สาย E-F ที่อยู่ระหว่างโมโน เมอร์ A กับ B และ สาย G-H ที่ยึดจับอยู่ระหว่างโมโนเมอร์ C กับ D ในช่วงแรกโครงสร้าง DNA ทั้ง 2 คู่สายมีค่า RMSD ใกล้เคียงกัน แสดงว่าในช่วงแรกโครงสร้าง DNA ทั้ง 2 คู่สายมีโครงสร้าง ใกล้เคียงกันหรือเหมือนกันแต่ในช่วงเวลา 760 - 1060 ps พบว่าค่า RMSD ของทั้ง 2 คู่สายมีค่า แตกต่างกัน โดยคู่สาย G-H จะมีค่า RMSD มากกว่าคู่สาย E-F โดยคู่สาย G-H มีค่า RMSD อยู่ ในช่วง 1.5 - 2.0 Å ในขณะที่คู่สาย E-F มีค่า RMSD อยู่ในช่วง 1.0 - 1.6 Å ซึ่งแสดงว่าโครงสร้าง ของ DNA ทั้ง 2 คู่สายในช่วงเวลาดังกล่าวมีโครงสร้างที่แตกต่างกัน

จากค่า RMSD ที่แตกต่างกัน ทางคณะผู้วิจัยจึงทำการศึกษาต่อเพื่อดูว่าโครงสร้าง DNA ทั้ง 2 คู่สายมีความแตกต่างกันอย่างไร โดยทำการเปรียบเทียบระหว่างโครงสร้าง DNA ที่ได้จาก X-ray กับโครงสร้าง DNA ที่ได้จากการศึกษา MD simulation เวลา 950 ps ทั้ง 2 คู่สาย ด้วยโปรแกรม spdvb ซึ่งจะนำโครงสร้างทั้ง 2 มาซ้อนทับกันเพื่อเปรียบเทียบดูความแตกต่างของโครงสร้างทั้งสอง ได้ผลการทดลองดังรูปที่ 69



ร**ูปที่ 69** การเปรียบเทียบโครงสร้างเริ่มต้น (สีน้ำเงิน) ของ DNA กับโครงสร้างที่ได้จากการศึกษา MD simulation ในช่วงเวลา 750 - 950 ps (สีชมพู) ของทั้ง 2 คู่สาย

จากกราฟรูปที่ 69 จะเห็นได้ว่าโครงสร้าง DNA ทั้ง 2 คู่สาย เมื่อทำการเปรียบเทียบกันระหว่าง โครงสร้าง DNA เริ่มต้น กับโครงสร้าง DNA ที่ได้จากการศึกษา MD simulation ที่เวลา 950 ps พบว่าทั้ง 2 คู่สายซ้อนทับกับโครงสร้างเริ่มต้นไม่สนิท โดยคู่สาย E-F จะคล้ายกับโครงสร้างเริ่มต้น มากกว่าคู่สาย G-H ซึ่งจะเห็นได้ชัดเจนบริเวณกรอบสี่เหลี่ยมในรูปที่ 69 ทำให้ค่า RMSD ของคู่สาย E-F น้อยกว่าคู่สาย G-H

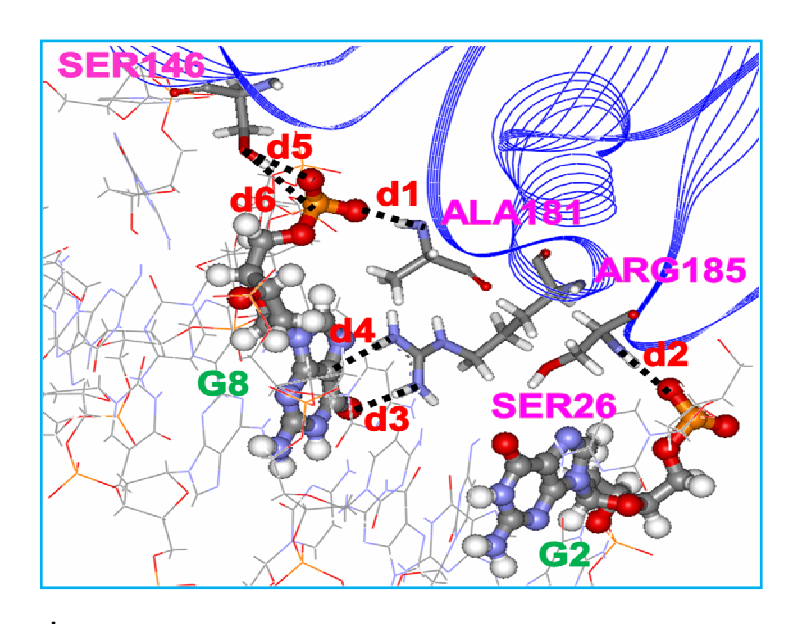
#### 6. พันธะไฮโดรเจนระหว่างโปรตีน p53 และ DNA

การวิเคราะห์หาพันธะไฮโดรเจนระหว่างโปรตีน p53 และ DNA จะกระทำโดยการให้โปรแกรม ค้นหาพันธะไฮโดรเจนที่กำหนดให้โดยจะกำหนดให้โปรตีน p53 เป็นตัวรับโปรตอน (proton acceptor) และ DNA เป็นตัวให้โปรตอน (proton donor) และทำการสลับให้ DNA เป็นตัวรับโปรตอน (proton acceptor) และโปรตีน p53 เป็นตัวให้โปรตอน (proton donor) เพื่อให้สามารถ ค้นหาพันธะไฮโดรเจนระหว่างโปรตีน p53 และ DNA ได้ครบถ้วน นอกจากนี้ยังได้กำหนดให้ค่ามุม ของพันธะไฮโดรเจนอยู่ระหว่าง 120 - 180 องศา และความยาวของพันธะไฮโดรเจนน้อยกว่า 4 Åโดยศึกษาในช่วงเวลา 760 - 1060 ps

ตารางที่ 2 แสดงพันธะไฮโดรเจนระหว่างโปรตีน p53 และ DNA

Donor	(DNA)	Acceptor (Protein)			% Occupied
20@O2P	G8F	229@H	229@N	ALA181A	100
8@O2P	G8E	422@H	422@N	ALA181B	99.83
32@O2P	G8G	615@H	615@N	ALA181C	99.62
44@O2P	G8H	808@H	808@N	ALA181D	99.92
2@O2P	G2E	74@H	74@N	SER26A	99.74
14@O1P	G2F	266@H	266@N	LYS25B	99.55
38@O2P	G2H	459@H	459@N	LYS25C	99.11
26@O2P	G2G	652@H	652@N	LYS25D	99.68
20@O6	G8F	233@HH12	233@NH1	ARG185A	99.74
8@06	G8E	426@HH12	426@NH1	ARG185B	99.26
32@O6	G8G	619@HH12	619@NH1	ARG185C	100
44@O6	G8H	812@HH12	812@NH1	ARG185D	90.87
20@C5	G8F	233@HH22	233@NH2	ARG185A	95.82
8@C5	G8E	426@HH22	426@NH2	ARG185B	97.75
32@C6	G8G	619@HH12	619@NH1	ARG185C	92.87
44@C6	G8H	812@HH12	812@NH1	ARG185D	97.56
20@O1P	G8F	194@HG	194@OG	SER146A	97.69

Donor	(DNA)	Acceptor (Protein)			% Occupied
8@O1P	G8E	385@HD22	385@ND2	ASN144B	100
32@O1P	G8G	580@HG	580@OG	SER146C	97.17
44@O1P	G8H	773@HG	773@OG	SER146D	97.17
20@P	G8F	194@HG	194@OG	SER146A	99.23
8@P	G8E	385@HD22	385@ND2	ASN144B	98.78
32@P	G8G	580@HG	580@OG	SER146C	92.16
44@P	G8H	773@HG	773@OG	SER146D	94.22

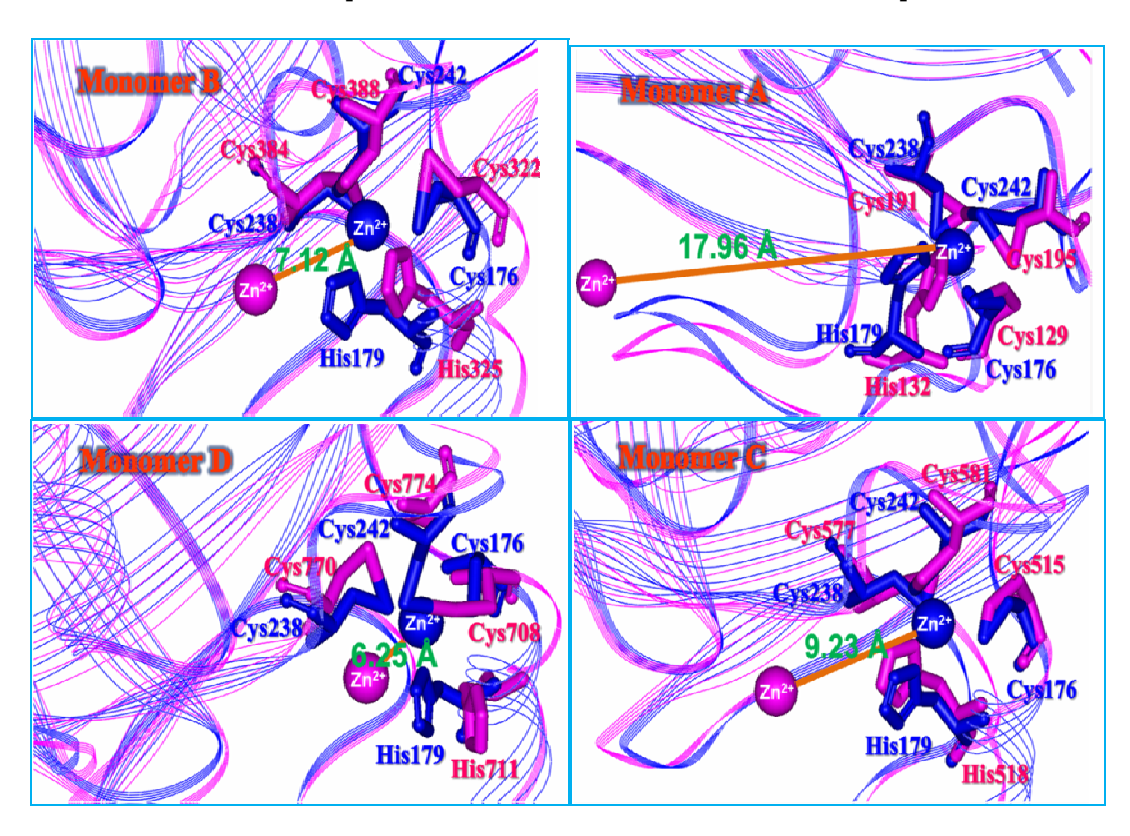


ร**ูปที่ 70** พันธะไฮโดรเจนระหว่างโปรตีน p53 กับ DNA โมโนเมอร์ A

จากการวิเคราะห์หาพันธะไฮโดรเจนที่ยึดจับระหว่างโปรตีน p53 กับ DNA พบว่ามีพันธะไฮโดรเจนจำนวนมากที่ยึดจับกับโปรตีน p53 กับ DNA คณะผู้วิจัยจึงเลือกศึกษาเฉพาะพันธะไฮโดรเจนที่เกิดขึ้นมากกว่า 90 % ของเวลาที่ทำ MD simulation ดังแสดงในตารางที่ 2 จาก การศึกษาพบพันธะไฮโดรเจนทั้งหมด 6 พันธะ โดยพันธะไฮโดรเจนทั้ง 6 พันธะจะยึดจับกันระหว่าง DNA ทั้งหมด 2 ตำแหน่ง คือ DNA ลำดับที่ 2 และ 8 ของแต่ละสายยึดจับโปรตีน p53 ทั้ง 4 โมโน เมอร์ จากตารางที่ 2 สัญลักษณ์ G2E คือเบส (guanine, G) ของ DNA สาย E ที่ยึดจับกับโปรตีน p53 ลำดับที่ 26, 146, 181 และ 185 ของแต่ละโมโนเมอร์ของโปรตีน p53 ซึ่งช่วยทำให้โปรตีน p53 ยึดจับกับ DNA ได้แข็งแรงขึ้น จากตารางที่ 2 พบว่าสัญลักษณ์ G2E คือเบส (guanine, G) ของ DNA สาย E จับกับ SER26A คือกรดอะมิโน Serine ลำดับที่ 26 ของโมโนเมอร์ A โดยลักษณะของ พันธะไฮโดรเจนได้แสดงดังรูปที่ 70 ซึ่งกำหนดพันธะไฮโดรเจนด้วยสัญลักษณ์ d1-d6

#### 7. ตำแหน่งของไอออน $Zn^{2^+}$ ในโปรตีน p53 แต่ละโมโนเมอร์

การวิเคราะห์ตำแหน่งของไอออน  $Zn^{2+}$  ก่อนและหลังการศึกษาด้วย MD simulation ทั้ง 4 โมโน เมอร์ด้วยโปรแกรม spdvb ซึ่งจะทำการเปรียบเทียบระหว่างโครงสร้างจากเทคนิค X-ray crystallography กับโครงสร้างสุดท้ายของการทำ MD simulation โดยการนำโครงสร้างทั้ง 2 มา ซ้อนทับกันเพื่อเปรียบเทียบดูของตำแหน่งของไอออน  $Zn^{2+}$  ในโครงสร้าง ดังรูปที่ 71



ร**ูปที่ 71** การเปรียบเทียบตำแหน่งของไอออน Zn<sup>2+</sup> ในโครงสร้างเริ่มต้น (สีน้ำเงิน) กับโครงสร้างที่ได้จาก MD simulation (สีชมพู) ของแต่ละโมโนเมอร์

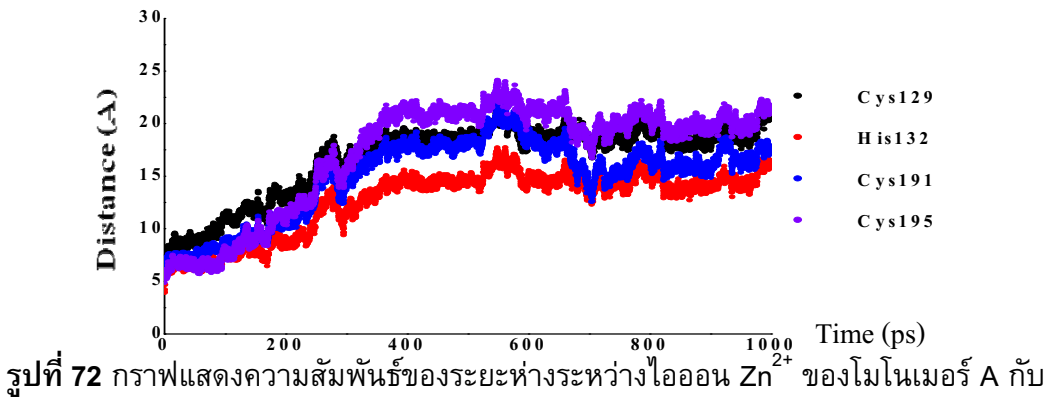
จากรูปที่ 71 แสดงตำแหน่งการเคลื่อนที่ของไอออน  $Zn^{2^+}$  ของแต่ละโมโนเมอร์ ในกรณีของโมโน เมอร์ A ไอออน  $Zn^{2^+}$  เคลื่อนที่ออกจากตำแหน่งเดิมในโครงสร้างจากเทคนิค X-ray crystallography เป็นระยะทาง 17.96 Å โมโนเมอร์ B 7.12 Å โมโนเมอร์ C 9.23 Å และ โมโนเมอร์ D 6.25 Å จาก ค่าระยะห่างของไอออน  $Zn^{2^+}$  กับกรดอะมิโนทั้ง 4 ที่ล้อมรอบ พบว่าโมโนเมอร์ A มีค่าการเคลื่อนที่ของไอออน  $Zn^{2^+}$  ระยะห่างมากที่สุดในการศึกษา MD simulation

#### 8. ระยะห่างระหว่างไอออน Zn² ีกับกรดอะมิโนที่ล้อมรอบ

การวิเคราะห์ระยะห่างระหว่างอะตอม  $C_{lpha}$  ของกรดอะมิโน Cysteine และ Histidine ของทั้ง 4 โมโนเมอร์กับอะตอมของไอออน  $Zn^{2^+}$  (รูปที่ 72 - 74)

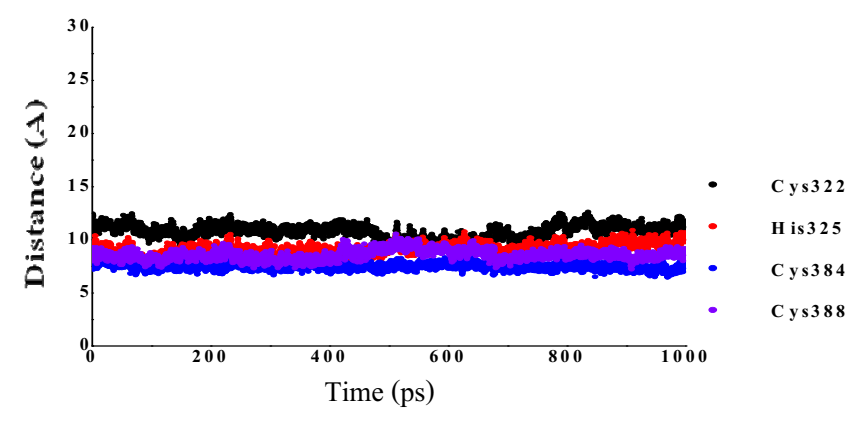
**ตารางที่ 3** แสดงระยะห่างระหว่างไอออน  $Zn^{2+}$  และอะตอม  $C_{\alpha}$  ของกรดอะมิโนที่ล้อมรอบในโครงสร้าง จากเทคนิค X-ray crystallography

	ระยะห่าง (Å)					
กรดอะมิโน	Cys176	His179	Cys238	Cys242		
Monomer A	4.27	4.53	3.75	4.57		
Monomer B	4.32	4.57	3.82	4.46		
Monomer C	4.35	4.54	3.79	4.54		
Monomer D	4.29	4.57	3.87	4.50		



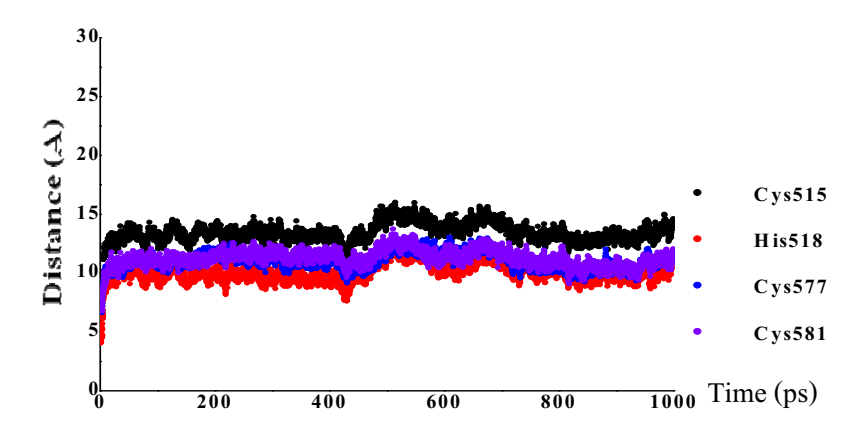
กรดอะมิโน Cys129, His132, Cys191 และ Cys195 เทียบกับเวลา

จากกราฟในรูปที่ 72 แสดงให้เห็นค่าระยะห่างระหว่างกรดอะมิโนทั้ง 4 กรดอะมิโนที่ล้อมรอบ ้ไอออน Zn²+ของโมโนเมอร์ A เมื่อเทียบกับระยะห่างของโครงสร้างเริ่มต้น ซึ่งพบว่าค่าระยะห่างจะ เพิ่มขึ้นเรื่อยในช่วง 400 ps แล้วค่อยๆ คงที่ ที่ 15 - 20 A เมื่อเปรียบเทียบกับค่าระยะห่างใน โครงสร้างจากเทคนิค X-ray crystallography ของโมโนเมอร์ A ซึ่งอยู่ในช่วง 3 - 4.5 Å อาจกล่าวได้ ว่าไอออน Zn<sup>2+</sup> ค่อยๆ เคลื่อนที่ออกห่างจากกรดอะมิโนทั้ง 4 ที่ล้อมร<sup>ื</sup>อบจนอยู่ในสภาวะสมดุลพบว่า ค่าระยะห่างจะอยู่ในช่วง 15 - 20 A ซึ่งมีค่ามากที่สุดเมื่อเทียบกับโมโนเมอร์อื่นๆ



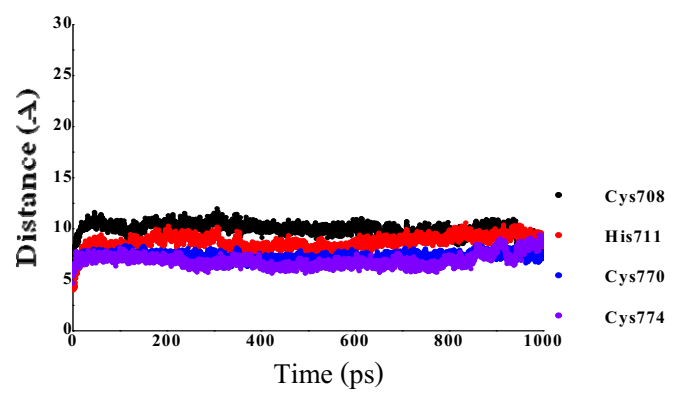
ร**ูปที่ 73** กราฟแสดงความสัมพันธ์ของระยะห่างระหว่างไอออน Zn<sup>2+</sup> ของโมโนเมอร์ B กับกรดอะมิโน Cys322, His325, Cys384 และ Cys388 เทียบกับเวลา

จากกราฟรูปที่ 73 แสดงให้เห็นค่าระยะห่างระหว่างกรดอะมิโนทั้ง 4 กรดอะมิโนที่ล้อมรอบ ไอออน Zn<sup>2+</sup>ของโมโนเมอร์ B เมื่อเทียบกับระยะห่างของโครงสร้างเริ่มต้น ซึ่งพบว่าค่าระยะห่างจะ เพิ่มขึ้นเรื่อยในช่วง 400 ps แล้วค่อย ๆ คงที่ ที่ 6 - 13 Å เมื่อเปรียบเทียบกับค่าระยะห่างใน โครงสร้าง X-ray ของโมโนเมอร์ B ซึ่งอยู่ในช่วง 3 - 4.5 Å อาจกล่าวได้ว่าไอออน Zn<sup>2+</sup> ค่อย ๆ เคลื่อนที่ออกห่างจากกรดอะมิโนทั้ง 4 ที่ล้อมรอบจนอยู่ในสภาวะสมดุลพบว่าค่าระยะห่างจะอยู่ ในช่วง 6 - 13 Å



ร**ูปที่ 74** กราฟแสดงความสัมพันธ์ของระยะห่างระหว่างไอออน Zn<sup>2+</sup> ของโมโนเมอร์ C กับกรดอะมิโนCys515, His581, Cys577 และ Cys581 เทียบกับเวลา

จากกราฟรูปที่ 74 แสดงให้เห็นค่าระยะห่างระหว่างกรดอะมิโนทั้ง 4 กรดอะมิโนที่ล้อมรอบ ไอออน Zn²+ของโมโนเมอร์ C เมื่อเทียบกับระยะห่างของโครงสร้างเริ่มต้น ซึ่งพบว่าค่าระยะห่างจะ เพิ่มขึ้นเรื่อยในช่วง 400 ps แล้วค่อย ๆ คงที่ ที่ 6 - 14 Å เมื่อเปรียบเทียบกับค่าระยะห่างใน โครงสร้าง X-ray ของโมโนเมอร์ C ซึ่งอยู่ในช่วง 3 - 4.5 Å อาจกล่าวได้ว่าไอออน Zn²+ ค่อย ๆ เคลื่อนที่ออกห่างจากกรดอะมิโนทั้ง 4 ที่ล้อมรอบจนอยู่ในสภาวะสมดุลพบว่าค่าระยะห่างจะอยู่ ในช่วง 6 - 14 Å

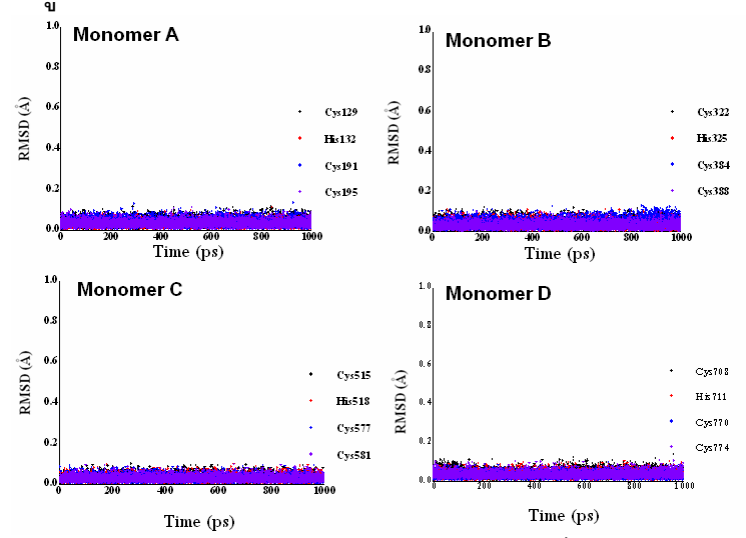


ร**ูปที่ 75** กราฟแสดงความสัมพันธ์ของระยะห่างระหว่างไอออน Zn<sup>2+</sup> ของโมโนเมอร์ D กับ กรดอะมิโน Cys708, His711, Cys770 และ Cys774 เทียบกับเวลา

จากกราฟรูปที่ 75 แสดงให้เห็นค่าระยะห่างระหว่างกรดอะมิโนทั้ง 4 กรดอะมิโนที่ล้อมรอบ ไอออน Zn<sup>2+</sup> ของโมโนเมอร์ D เมื่อเทียบกับระยะห่างของโครงสร้างเริ่มต้น ซึ่งพบว่าค่าระยะห่างจะ เพิ่มขึ้นเรื่อยในช่วง 400 ps แล้วค่อย ๆ คงที่ ที่ 5 - 11 Å เมื่อเปรียบเทียบกับค่าระยะห่างใน โครงสร้าง X-ray ของโมโนเมอร์ D ซึ่งอยู่ในช่วง 3 - 4.5 Å อาจกล่าวได้ว่าไอออน Zn<sup>2+</sup> ค่อย ๆ เคลื่อนที่ออกห่างจากกรดอะมิโนทั้ง 4 ที่ล้อมรอบจนอยู่ในสภาวะสมดุลพบว่าค่าระยะห่างจะอยู่ ในช่วง 5 - 11 Å

#### 9. การเปลี่ยนแปลงโครงสร้างกรดอะมิโนที่ล้อมรอบไอออน Zn²⁺

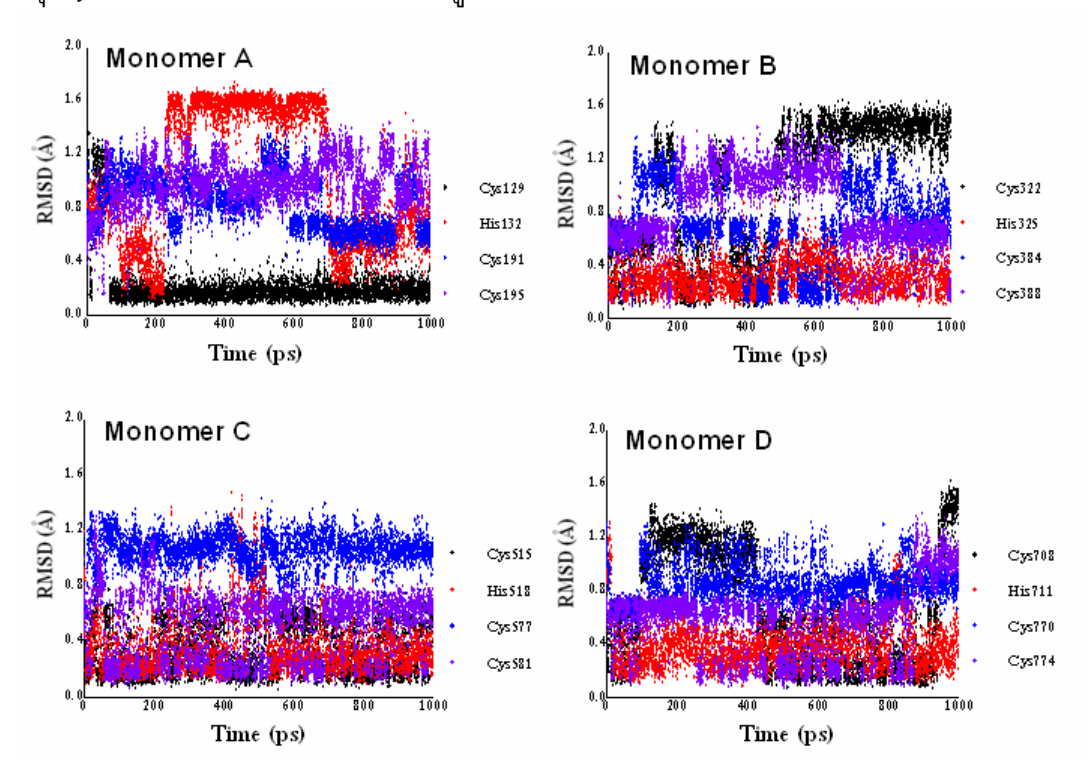
จากโครงสร้างสามมิติของสารประกอบเชิงซ้อน p53 และ DNA พบว่ามีกรดอะมิโน 4 กรดอะมิ โนที่อยู่ล้อมรอบไอออน Zn<sup>2+</sup> ซึ่งได้แก่ Cysteine 3 กรดอะมิโน และ Histidine 1 กรดอะมิโน ซึ่งจาก การศึกษาตำแหน่งของไอออน Zn<sup>2+</sup> ผู้ทำการวิจัยจึงศึกษาค่า RMSD ของกรดอะมิโนที่ล้อมรอบ ไอออน Zn<sup>2+</sup> เพื่อดูการเปลี่ยนแปลงของโครงสร้างกรดอะมิโนดังกล่าว ได้ผลการทดลองดังรูป



ร**ูปที่ 76** กราฟแสดงความสัมพันธ์ระหว่างค่า RMSD ของอะตอมที่เป็นสายโซ่หลักของกรดอะมิโนที่อยู่ ล้อมรอบไอออน Zn<sup>2+</sup> ของแต่ละโมโนเมอร์เทียบกับเวลา

จากกราฟรูปที่ 76 เป็นค่า RMSD ของอะตอมที่เป็นสายโช่หลักของ Cysteine และ Histidine ที่ อยู่ล้อมรอบไอออน Zn<sup>2+</sup> ในทุกๆ โมโนเมอร์ซึ่งพบว่าค่า RMSD มีค่าน้อยกว่า 0.2 Å ทั้งหมด แสดง ให้เห็นว่าอะตอมที่เป็นสายโช่หลักของกรดอะมิโนทั้ง 4 กรดอะมิโน ในทุกๆ โมโนเมอร์ไม่เกิดการ เปลี่ยนแปลงโครงสร้างและตำแหน่ง เมื่อเทียบกับโครงสร้างเริ่มต้นเนื่องจากค่า RMSD น้อยมากๆ นั้นแสดงว่าอะตอมที่เป็นสายโซ่หลักของทั้ง 4 กรดอะมิโนไม่เปลี่ยนแปลงและไม่เป็นสาเหตุของการ เคลื่อนที่ของไอออน Zn<sup>2+</sup>

ค่า RMSD ของกรดอะมิโน Cysteine และ Histidine ของทุกอะตอมที่อยู่ล้อมรอบไอออน Zn<sup>2+</sup> ในทุกๆ โมโนเมอร์ ได้ผลการทดลองดังรูป

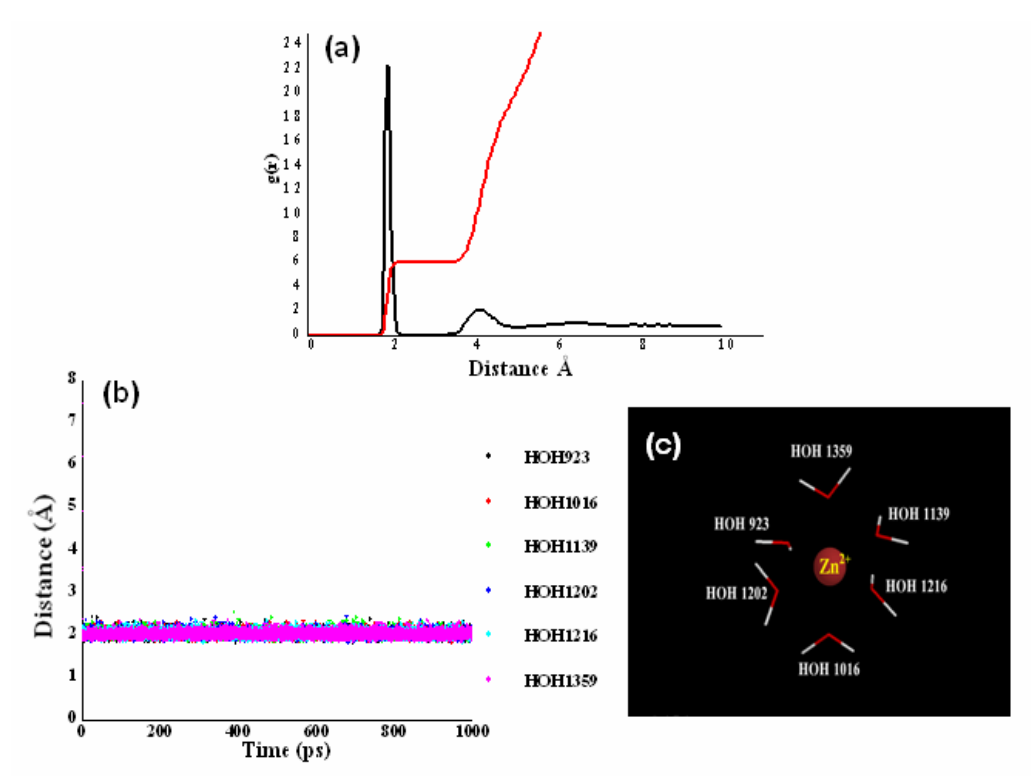


ร**ูปที่ 77** กราฟแสดงความสัมพันธ์ระหว่างค่า RMSD ของอะตอมทั้งหมดของกรดอะมิโนที่อยู่ล้อมรอบ ไอออน Zn<sup>2+</sup> ของแต่ละโมโนเมอร์ A เทียบกับเวลา

จากกราฟรูปที่ 77 เป็นค่า RMSD ของทุกอะตอมซึ่งรวมเอาอะตอม Side chain ของ Cysteine และ Histidine ที่อยู่ล้อมรอบไอออน Zn<sup>2+</sup> ในทุกๆ โมโนเมอร์เอาไว้ด้วย ซึ่งพบว่าค่า RMSD มีค่า ค่อนข้างจะแกว่งไม่คงที่ทั้ง 4 โมโนเมอร์ แสดงให้เห็นว่าอะตอมที่ Side chain ของกรดอะมิโนทั้ง 4 กรดอะมิโน ในทุกๆ โมโนเมอร์เกิดการเปลี่ยนแปลงโครงสร้างและตำแหน่ง เมื่อเทียบกับโครงสร้าง เริ่มตันเนื่องจากค่า RMSD ที่มาก นั้นแสดงว่าอะตอมที่เป็น Side chain ของทั้ง 4 กรดอะมิโน เปลี่ยนแปลงโครงสร้างทำให้ไอออน Zn<sup>2+</sup> สามารถเคลื่อนที่ออกจากตำแหน่งเดิมได้

# 10. การกระจายตัวของโมเลกุลน้ำในแนวรัศมี (RDF) ล้อมรอบไอออน Zn²⁺

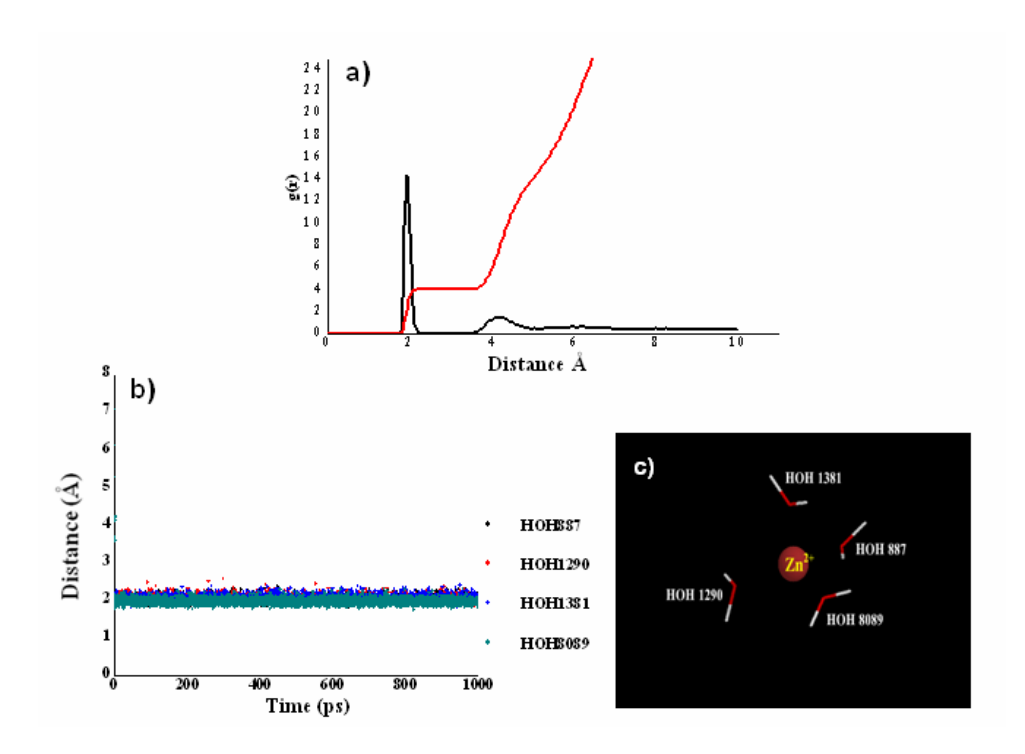
จากผลการคำนวณค่าการกระจายตัวของโมเลกุลน้ำในแนวรัศมี (RDF) ที่ล้อมรอบไอออน Zn<sup>2+</sup> พบว่ามีน้ำกระจายตัวอยู่ในช่วงประมาณ 2 Å ล้อมรอบไอออน Zn<sup>2+</sup> ในทุกโมโนเมอร์ (รูปที่ 78-81)



ร**ูปที่ 78** a) กราฟแสดงความสัมพันธ์ระหว่างการกระจายตัวของโมเลกุลน้ำในแนวรัศมีที่อยู่ล้อม รอบอะตอมของไอออน Zn<sup>2+</sup>ของโมโนเมอร์ A

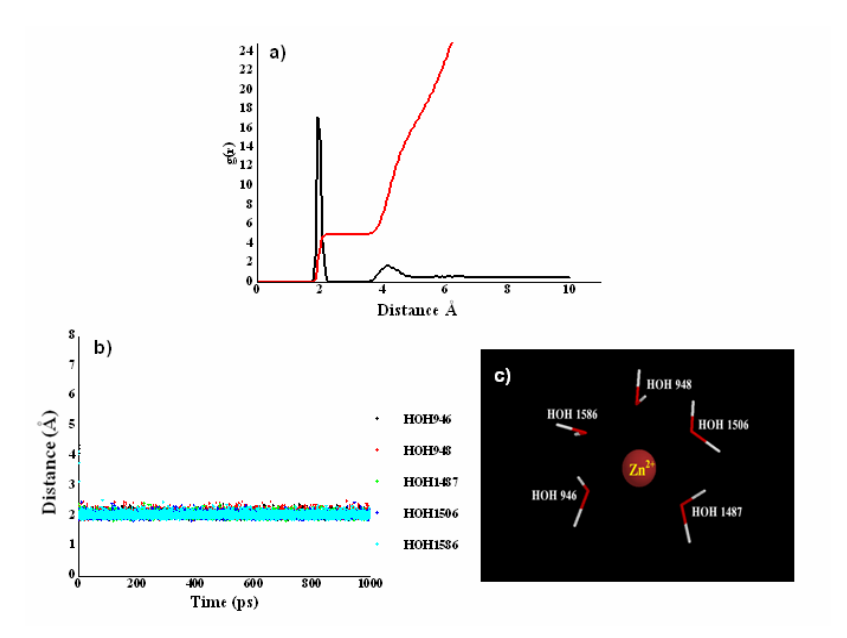
- b) กราฟแสดงความสัมพันธ์ระยะห่างระหว่างไอออน Zn<sup>2+</sup> ของ โมโนเมอร์ A กับโมเลกุล น้ำลำดับที่ 923, 1016, 1139, 1202, 1216 และ 1359 เทียบกับเวลา
- c) รูปแสดงตำแหน่งของโมเลกุลน้ำที่ล้อมรอบไอออน Zn<sup>2+</sup>

จากกราฟรูป 78 เป็นการศึกษาการกระจายตัวของโมเลกุลน้ำในแนวรัศมีล้อมรอบไอออน  $Zn^{2+}$ ของโนโนเมอร์ A ซึ่งพบว่าจากกราฟในรูปที่ 78(a) แสดงให้เห็นว่ามีโมเลกุลน้ำล้อมรอบไอออน  $Zn^{2+}$ โดยอยู่ห่างจากไอออน  $Zn^{2+}$  2 Å สังเกตจากกราฟเส้นสีดำที่ขึ้น peak ที่ตำแหน่ง 2 Å ซึ่งโมเลกุลน้ำ ที่ระยะทาง 2 Å มีจำนวนทั้งสิ้น 6 โมเลกุล สังเกตจากกราฟเส้นสีแดงที่คงที่ ที่ตำแหน่ง 6 ของแกน y เมื่อทำการศึกษาต่อไปพบว่าน้ำทั้ง 6 โมเลกุลอยู่ล้อมรอบไอออน  $Zn^{2+}$  เป็นระยะทาง 2 Å ตลอดเวลาที่ศึกษา MD simulation สังเกตได้จากกราฟในรูปที่ 78(b) ซึ่งแสดงความสัมพันธ์ระหว่าง ระยะห่างของไอออน  $Zn^{2+}$  กับโมเลกุลน้ำทั้ง 6 โมเลกุล และเมื่อดูจากโครงสร้างสามมิติที่ได้จาก การศึกษา MD simulation ก็พบน้ำทั้ง 6 โมเลกุลในลักษณะที่แสดงดังกราฟในรูปที่ 78(c) จะเห็นได้ ว่ากราฟทั้ง 3 รูปให้ผลที่สอดคล้องกันดังที่อธิบายไปแล้วข้างต้น



รูปที่ 79 a) กราฟแสดงความสัมพันธ์ระหว่างการกระจายตัวของโมเลกุลน้ำในแนวรัศมีที่อยู่ล้อม รอบอะตอมของไอออน Zn²+ ของโมโนเมอร์ B
 b) กราฟแสดงความสัมพันธ์ระยะห่างระหว่างไอออน Zn²+ ของโมโนเมอร์ B กับโมเลกุล น้ำลำดับที่ 887, 1290, 1381 และ 8089 เทียบกับเวลา
 c) รูปแสดงตำแหน่งของโมเลกุลน้ำที่ล้อมรอบไอออน Zn²+

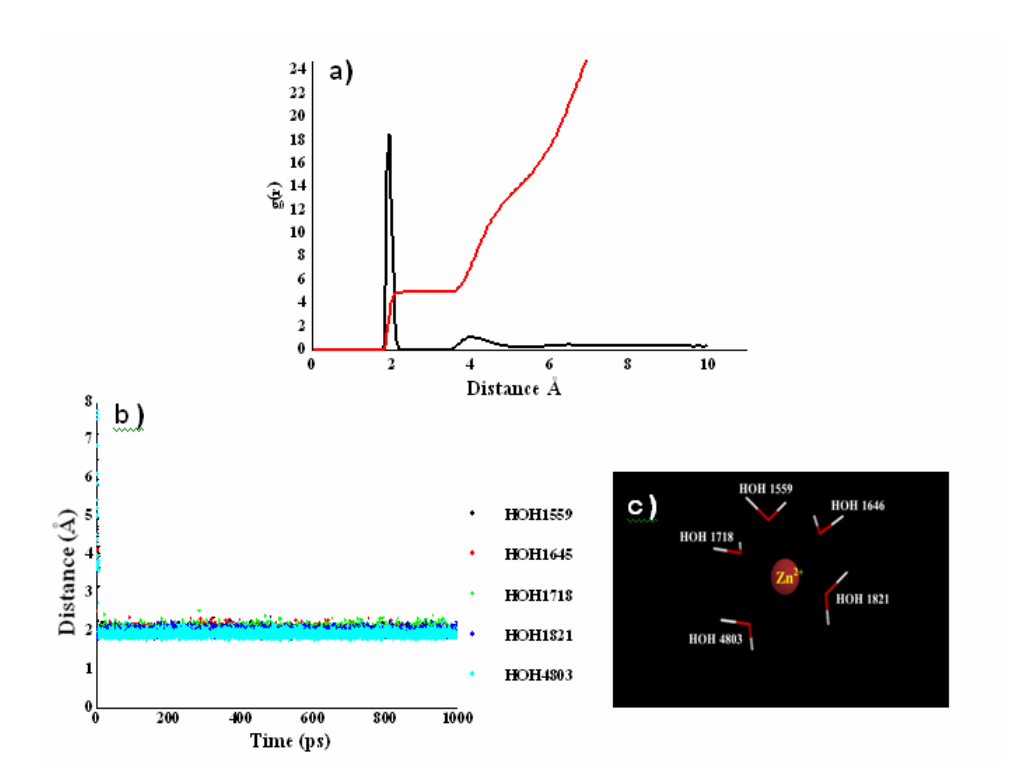
จากกราฟรูป 79 เป็นการศึกษาการกระจายตัวของโมเลกุลน้ำในแนวรัศมีล้อมรอบไอออน  $Zn^{2+}$ ของโนโนเมอร์ A ซึ่งพบว่าจากกราฟในรูปที่ 79(a) แสดงให้เห็นว่ามีโมเลกุลน้ำล้อมรอบไอออน  $Zn^{2+}$ โดยอยู่ห่างจากไอออน  $Zn^{2+}$  2 Å สังเกตจากกราฟเส้นสีดำที่ขึ้น peak ที่ตำแหน่ง 2 Å ซึ่งโมเลกุลน้ำ ที่ระยะทาง 2 Å มีจำนวนทั้งสิ้น 6 โมเลกุล สังเกตจากกราฟเส้นสีแดงที่คงที่ ที่ตำแหน่ง 6 ของแกน y เมื่อทำการศึกษาต่อไปพบว่าน้ำทั้ง 4 โมเลกุลอยู่ล้อมรอบไอออน  $Zn^{2+}$  เป็นระยะทาง 2 Å ตลอดเวลาที่ศึกษา MD simulation สังเกตได้จากกราฟในรูปที่ 79(b) ซึ่งแสดงความสัมพันธ์ระหว่าง ระยะห่างของไอออน  $Zn^{2+}$  กับโมเลกุลน้ำทั้ง 4 โมเลกุล และเมื่อดูจากโครงสร้างสามมิติที่ได้จาก การศึกษา MD simulation ก็พบน้ำทั้ง 4 โมเลกุลในลักษณะที่แสดงดังกราฟในรูป 79(c) จะเห็นได้ ว่ากราฟทั้ง 3 รูปให้ผลที่สอดคล้องกันดังที่อธิบายไปแล้วข้างต้น



ร**ูปที่ 80** a) กราฟแสดงความสัมพันธ์ระหว่างการกระจายตัวของโมเลกุลน้ำในแนวรัศมีที่อยู่ล้อม รอบอะตอมของไอออน Zn<sup>2+</sup>ของโมโนเมอร์ C b) กราฟแสดงความสัมพันธ์ระยะห่างระหว่างไอออน Zn<sup>2+</sup>ของโมโนเมอร์ C กับโมเลกุล

น้ำลำดับที่ 946, 948, 1487, 1506 และ 1586 เทียบกับเวลา c) รูปแสดงตำแหน่งของโมเลกุลน้ำที่ล้อมรอบไอออน Zn<sup>2+</sup>

จากกราฟรูป 80 เป็นการศึกษาการกระจายตัวของโมเลกุลน้ำในแนวรัศมีล้อมรอบไอออน  $Zn^{2+}$  ของโนโนเมอร์ A ซึ่งพบว่าจากกราฟในรูปที่ 80(a) แสดงให้เห็นว่ามีโมเลกุลน้ำล้อมรอบไอออน  $Zn^{2+}$  โดยอยู่ห่างจากไอออน  $Zn^{2+}$  2 Å สังเกตจากกราฟเส้นสีดำที่ขึ้น peak ที่ตำแหน่ง 2 Å ซึ่ง โมเลกุลน้ำที่ระยะทาง 2 Å มีจำนวนทั้งสิ้น 6 โมเลกุล สังเกตจากกราฟเส้นสีแดงที่คงที่ ที่ตำแหน่ง 6 ของแกน y เมื่อทำการศึกษาต่อไปพบว่าน้ำทั้ง 5 โมเลกุลอยู่ล้อมรอบไอออน  $Zn^{2+}$  เป็นระยะทาง 2 Å ตลอดเวลาที่ศึกษา MD simulation สังเกตได้จากกราฟในรูปที่ 80(b) ซึ่งแสดงความสัมพันธ์ ระหว่างระยะห่างของไอออน  $Zn^{2+}$  กับโมเลกุลน้ำทั้ง 5 โมเลกุล และเมื่อดูจากโครงสร้างสามมิติที่ได้ จากการศึกษา MD simulation ก็พบน้ำทั้ง 5 โมเลกุลในลักษณะที่แสดงดังกราฟในรูปที่ 80(c) จะ เห็นได้ว่ากราฟทั้ง 3 รูปให้ผลที่สอดคล้องกันดังที่อธิบายไปแล้วข้างต้น



ร**ูปที่ 81** a) กราฟแสดงความสัมพันธ์ระหว่างการกระจายตัวของโมเลกุลน้ำในแนวรัศมีที่อยู่ล้อม รอบอะตอมของไอออน Zn<sup>2+</sup> ของโมโนเมอร์ D b) กราฟแสดงความสัมพันธ์ระยะห่างระหว่างไอออน Zn<sup>2+</sup> ของโมโนเมอร์ D กับโมเลกุล

น้ำลำดับที่ 1559, 1646, 1718, 1821 และ 4803 เทียบกับเวลา

c) รูปแสดงตำแหน่งของโมเลกุลน้ำที่ล้อมรอบไอออน Zn<sup>2+</sup>

จากกราฟรูป 81 เป็นการศึกษาการกระจายตัวของโมเลกุลน้ำในแนวรัศมีล้อมรอบไอออน  $Zn^{2+}$  ของโนโนเมอร์ A ซึ่งพบว่าจากกราฟในรูปที่ 81(a) แสดงให้เห็นว่ามีโมเลกุลน้ำล้อมรอบไอออน  $Zn^{2+}$  โดยอยู่ห่างจากไอออน  $Zn^{2+}$  2 Å สังเกตจากกราฟเส้นสีดำที่ขึ้น peak ที่ดำแหน่ง 2 Å ซึ่ง โมเลกุลน้ำที่ระยะทาง 2 Å มีจำนวนทั้งสิ้น 6 โมเลกุล สังเกตจากกราฟเส้นสีแดงที่คงที่ ที่ตำแหน่ง 6 ของแกน y เมื่อทำการศึกษาต่อไปพบว่าน้ำทั้ง 5 โมเลกุลอยู่ล้อมรอบไอออน  $Zn^{2+}$  เป็นระยะทาง 2 Å ตลอดเวลาที่ศึกษา MD simulation สังเกตได้จากกราฟในรูปที่ 81(b) ซึ่งแสดงความสัมพันธ์ ระหว่างระยะห่างของไอออน  $Zn^{2+}$  กับโมเลกุลน้ำทั้ง 5 โมเลกุล และเมื่อดูจากโครงสร้างสามมิติที่ได้ จากการศึกษา MD simulation ก็พบน้ำทั้ง 5 โมเลกุลในลักษณะที่แสดงดังกราฟในรูปที่ 81(c) จะ เห็นได้ว่ากราฟทั้ง 3 รูปให้ผลที่สอดคล้องกันดังที่อธิบายไปแล้วข้างต้น

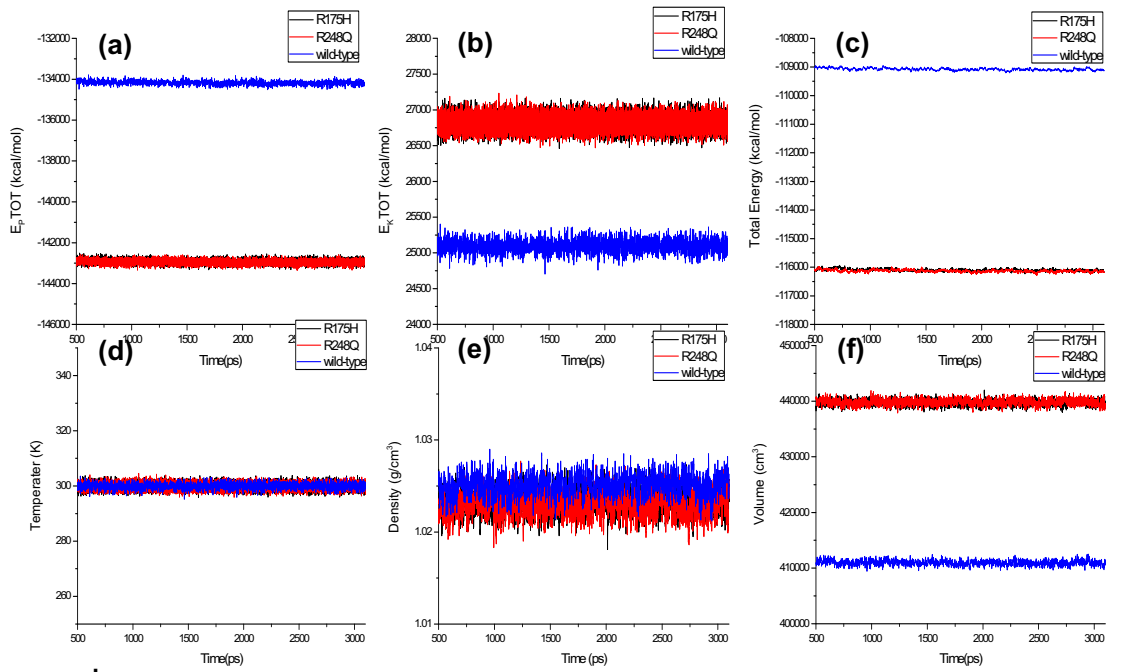
จากการวิเคราะห์การกระจายตัวของโมเลกุลน้ำในแนวรัศมีล้อมรอบไอออน  $Zn^{2^+}$  และระยะห่าง ของน้ำล้อมรอบไอออน  $Zn^{2^+}$  ของทั้ง 4 โมโนเมอร์ จะพบว่าโมโนเมอร์ A มีจำนวนโมเลกุลน้ำมาก ที่สุด คือ 6 โมเลกุล เป็นผลทำให้ไอออน  $Zn^{2^+}$  เคลื่อนที่ออกจากตำแหน่งเดิมมากกว่าโมโนเมอร์อื่น เนื่องจากน้ำเป็นสาเหตุที่ดึงให้ไอออน  $Zn^{2^+}$  เกิดการเคลื่อนที่ แต่ถ้าทุกโมโนเมอร์มีจำนวนโมเลกุล น้ำที่เท่ากันระยะห่างก็จะใกล้เคียงกัน แต่ถ้าไม่มีโมเลกุลน้ำเลยไอออน  $Zn^{2^+}$  ก็จะไม่เกิดการเคลื่อนที่

ไปจากตำแหน่งเดิม ส่วนโมโนเมอร์ B โมโนเมอร์ C และโมโนเมอร์ D ที่มีโมเลกุลน้ำจำนวนที่ไม่ แตกต่างกันมาก คือ 4 โมเลกุล และ 5 โมเลกุล จึงทำให้มีค่าระยะห่างที่ใกล้เคียงกัน

# <u>ตอนที่ 3</u> การศึกษา MD simulation ของ monomer p53 ที่เกิดการกลายพันธุ์ในส่วนที่เป็น core domain

#### 1. สภาวะของระบบ

จากการศึกษา MD simulation ผู้วิจัยได้ทำการเขียนกราฟแสดงความสัมพันธ์ของตัวแปรที่บ่งบอก สภาวะของระบบเทียบกับเวลาในหน่วย ps ซึ่งตัวแปรดังกล่าว ได้แก่ พลังงานศักย์, พลังงานจลน์, พลังงานรวม, อุณหภูมิ, ความหนาแน่น, และปริมาตรของระบบ



รูปที่ 82 กราฟแสดงความสัมพันธ์ระหว่าง (a) พลังงานศักย์ (b) พลังงานจลน์ (c) พลังงานรวม (d) อุณหภูมิ (e) ความหนาแน่น และ (f) ปริมาตรของระบบ เปรียบเทียบกับเวลา

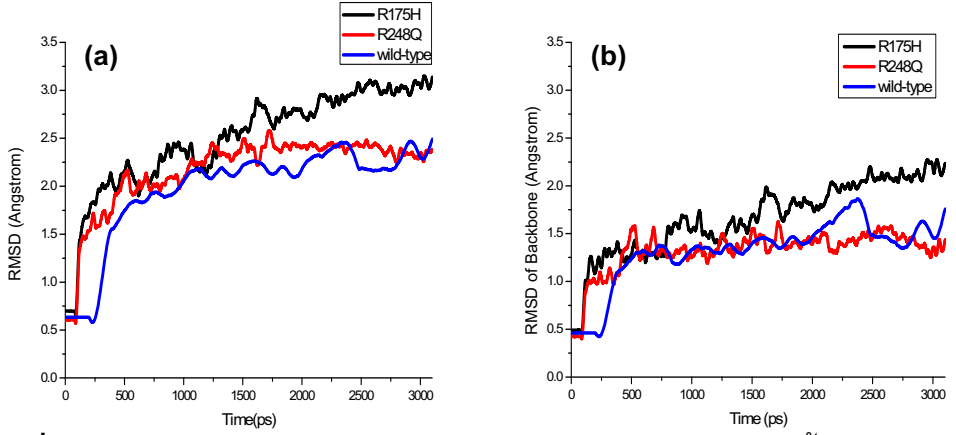
จากกราฟทั้งหมดแสดงให้เห็นว่าช่วงเวลาในการเก็บข้อมูลเพื่อใช้วิเคราะห์ผลของทั้ง 3 ระบบ เป็นช่วงที่สภาวะของระบบค่อนข้างคงที่ สังเกตได้จากตัวแปรทั้งหมดมีค่าคงที่ในช่วงเวลา 2100-3100 ps ซึ่งเมื่อพิจารณาอุณหภูมิและความหนาแน่น (d และ e) พบว่าทั้ง 3 ระบบมีค่าเท่ากัน กล่าวคือ ทั้ง 3 ระบบมีอุณหภูมิคงที่ที่ 300 K และความหนาแน่นคงที่ที่ประมาณ 1.024 mg/L ส่วน ปริมาตรพบว่าระบบ wild-type มีปริมาตรต่ำกว่าระบบ R175H และ R248Q เนื่องจากในระบบ wild-type มีจำนวนกรดอะมิโนน้อยกว่าอีก 2 ระบบจึงทำให้มีปริมาตรต่ำกว่าระบบ R175H และ R248Q เมื่อพิจารณาค่าพลังงานจลน์พบว่าระบบ wild-type มีค่าพลังงานจลน์น้อยกว่าระบบ R175H และ R248Q เนื่องจากพลังงานจลน์จะแปรผันตรงกับจำนวนอะตอม ดังนั้นในระบบ wild-type ซึ่งมีจำนวนอะตอมน้อยกว่า จึงมีค่าพลังงานจลน์น้อยกว่าระบบ R175H และ R248Q ส่วนค่า

พลังงานศักย์พบว่าระบบ wild-type มีค่าพลังงานศักย์มากกว่าระบบ R175H และ R248Q เนื่องจาก พลังงานศักย์จะแปรผันตรงกับจำนวนอะตอมเช่นเดียวกับพลังงานจลน์ แต่พลังงานศักย์จะมี เครื่องหมายลบ ดังนั้นแนวโน้มของค่าพลังงานศักย์จึงตรงกันข้ามกับค่าพลังงานจลน์ โดยในระบบ wild-type ซึ่งมีจำนวนอะตอมน้อยกว่าจะมีค่าพลังงานศักย์มากกว่าระบบ R175H และ R248Q ส่วน พลังงานรวมจะเห็นว่าระบบ wild-type มีค่าพลังงานรวมมากกว่าระบบ R175H และ R248Q เนื่องจาก พลังงานรวมเป็นผลรวมระหว่างพลังงานศักย์กับพลังงานจลน์

#### 2. การเปลี่ยนแปลงโครงสร้างของโปรตีน p53

ในการวิเคราะห์การเปลี่ยนแปลงโครงสร้างของโปรตีน p53 ในระหว่างการศึกษาด้วยเทคนิค MD simulation ผู้วิจัยได้ทำการคำนวณค่า Root mean square distance (RMSD) ซึ่งเป็นค่าเฉลี่ย ของระยะห่างระหว่างอะตอมแต่ละอะตอมในโครงสร้างที่ได้จากการทำ MD simulation แต่ละขั้นตอน กับโครงสร้างเริ่มต้นหรือโครงสร้างอ้างอิง โดยถ้าค่า RMSD มีค่ามากแสดงว่าโครงสร้างที่ได้จากการทำ MD Simulation แต่ละขั้นตอนแตกต่างจากโครงสร้างเริ่มต้นหรือโครงสร้างอ้างอิงมาก แต่ถ้าค่า RMSD มีค่าน้อยแสดงว่าโครงสร้างที่ได้จากการทำ MD Simulation แต่ละขั้นตอนไม่แตกต่างจากโครงสร้าง เริ่มต้นมากนัก นอกจากนี้ค่า RMSD ยังบ่งบอกถึงสภาวะสมดุลของระบบได้อีกด้วย โดยถ้าค่า RMSD มีค่าคงที่ในช่วงเวลาใดๆ แสดงว่าโครงสร้างที่ได้จากการทำ MD Simulation ในช่วงเวลา ดังกล่าวมีการเปลี่ยนแปลงน้อยเมื่อเวลาผ่านไป หรืออาจกล่าวได้ว่าระบบเข้าสู่สภาวะสมดุลแล้วนั่นเอง แต่ถ้าค่า RMSD มีค่าไม่คงที่แสดงว่าโครงสร้างยังมีการเปลี่ยนแปลงมากเมื่อเวลาผ่านไปหรืออาจกล่าว ได้ว่าระบบยังไม่อยู่ในสภาวะสมดุล

ในงานวิจัยนี้ผู้วิจัยได้ทำการคำนวณค่า RMSD ของอะตอมทุกอะตอมในระบบและอะตอมที่ เป็นสายโช่หลักของโปรตีน p53 ในแต่ละระบบเทียบกับเวลาที่ผ่านไป โดยใช้โครงสร้างเริ่มต้นเป็น โครงสร้างอ้างอิงในการเปรียบเทียบ ซึ่งได้ผลการวิเคราะห์ดังกราฟในรูปที่ 83



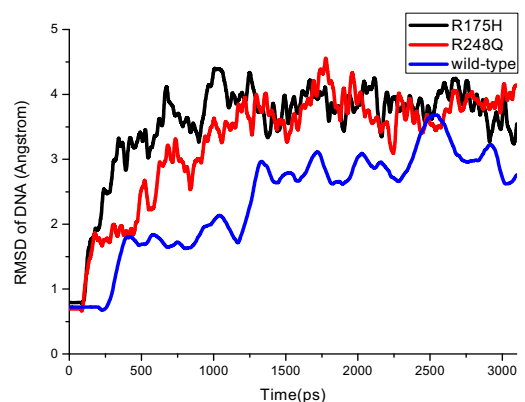
ร**ูปที่ 83** กราฟแสดงความสัมพันธ์ระหว่าง (a) ค่า RMSD ของอะตอมทั้งหมดในระบบและ (b) ค่า RMSD ของอะตอมที่เป็นสายโช่หลักของโปรตีน p53 เปรียบเทียบกับเวลา

จากรูปที่ 83 พบว่าลักษณะของเส้นกราฟในรูป (a) และ (b) มีความคล้ายคลึงกัน แต่จะแตกต่าง กันที่กราฟในรูป 83(a) มีค่า RMSD มากกว่ากราฟในรูป 83(b) เนื่องจากกราฟในรูป 83(a) เป็น การคำนวณค่า RMSD ของอะตอมทั้งหมดในระบบ ทำให้จำนวนอะตอมที่นำมาคำนวณมีจำนวน มากกว่ากราฟในรูป 83(b) ซึ่งเป็นการคำนวณค่า RMSD ของอะตอมในสายโช่หลักของโปรตีน p53 เท่านั้น (C, Cα, N) อีกทั้งบริเวณหมู่แทนที่ของกรดอะมิโนยังเป็นบริเวณที่มีความยืดหยุ่นสูง กล่าวคือ โครงสร้างสามารถเปลี่ยนแปลงได้ง่ายจึงทำให้ค่า RMSD ของอะตอมทั้งหมดซึ่งรวมเอา อะตอมของหมู่แทนที่เข้าไปด้วย (รูปที่ 83(a)) มีค่าสูงกว่าค่า RMSD ของอะตอมที่เป็นสายโช่หลัก (รูปที่ 83(b))

เมื่อพิจารณาค่า RMSD ของแต่ละระบบในรูป 83(a) และ 83(b) พบว่าในช่วงเวลา 0-500 ps ค่า RMSD เพิ่มขึ้นอย่างรวดเร็วทุกระบบ เนื่องจากเป็นช่วงที่มีการปรับอุณหภูมิเพิ่มขึ้นและโครงสร้างของ ระบบกำลังเปลี่ยนแปลงเพื่อเข้าสู่สภาวะสมดุล หลังจากนั้นค่า RMSD ของระบบ wild-type และ R248Q จะเพิ่มขึ้นช้าๆ และค่อนข้างคงที่หลังจาก 2100 ps ส่วนในระบบ R175H พบว่าค่า RMSD จะ ยังคงเพิ่มขึ้นเรื่อยๆ แสดงให้เห็นว่าระบบ R175H ยังมีการเปลี่ยนแปลงตำแหน่งของอะตอมในระบบอยู่ ตลอดเวลา จึงทำให้ระบบนี้เข้าสู่สภาวะสมดุลช้ากว่าระบบ wild-type และ R248Q ซึ่งอาจเป็นผลมาจาก การกลายพันธุ์ นอกจากนี้เมื่อพิจารณาค่า RMSD จะพบว่าค่า RMSD ของ R175H มีค่ามากกว่าระบบ wild-type และ R248Q จึงกล่าวได้ว่าโครงสร้างที่ได้จากการศึกษาด้วย MD Simulation ของระบบ R175H จะแตกต่างจากโครงสร้างเริ่มต้นมากที่สุด

#### 3. การเปลี่ยนแปลงโครงสร้างของ DNA

ในการศึกษาการเปลี่ยนแปลงโครงสร้างของDNA ผู้วิจัยได้คำนวณหาค่า RMSD ของอะตอม ทั้งหมดใน DNA เทียบกับเวลาที่ผ่านไป เพื่อให้ทราบถึงการเปลี่ยนแปลงตำแหน่งของอะตอม ทั้งหมดในโครงสร้างของ DNA ระหว่างการศึกษาด้วย MD Simulation โดยเปรียบเทียบกับ โครงสร้างเริ่มต้นของDNA

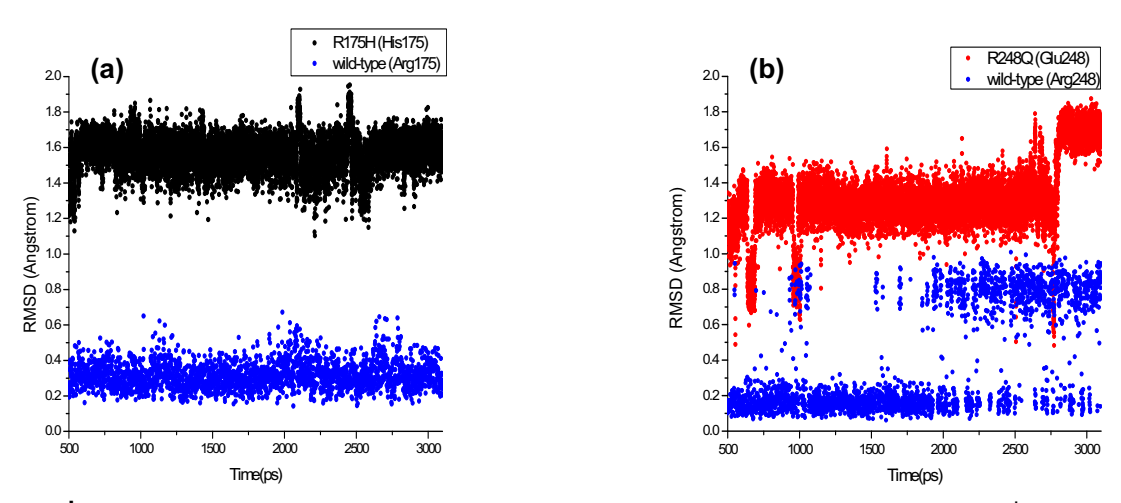


รูปที่ 84 กราฟแสดงความสัมพันธ์์ระห์ว่างค่า RMSD ของ DNA เทียบกับเวลา

จากรูปที่ 84 จะเห็นได้ว่าทุกระบบมีค่า RMSD เพิ่มขึ้นอย่างรวดเร็วในช่วงเวลา 0-500 ps หลังจากนั้นค่า RMSD โดยเฉลี่ยของแต่ละระบบจะเพิ่มขึ้นช้า ๆ และค่อนข้างคงที่หลังจาก 2100 ps เช่นเดียวกับกราฟในรูป 83 เมื่อพิจารณาค่า RMSD ของแต่ละระบบพบว่า DNA ในระบบ wild-type มีค่า RMSD น้อยกว่าในระบบ R175H และ R248Q นั่นแสดงให้เห็นว่าโครงสร้าง DNA ในระบบ wild-type ใกล้เคียงกับโครงสร้างเริ่มต้นมากที่สุด หรืออาจกล่าวได้ว่าเมื่อเกิดการกลายพันธุ์ขึ้นใน โปรตีน p53 จะส่งผลทำให้เกิดการเปลี่ยนแปลงโครงสร้างของ DNA ด้วย

### 4. โครงสร้างของกรดอะมิโนในตำแหน่งที่เกิดการกลายพันธุ์

ในการศึกษาการเปลี่ยนแปลงโครงสร้างของกรดอะมิโนในตำแหน่งที่เกิดการกลายพันธุ์ ผู้วิจัย ได้คำนวณหาค่า RMSD ของอะตอมทั้งหมดในกรดอะมิโนที่เกิดการกลายพันธุ์ของทั้ง 3 ระบบ ได้แก่ His175 ในระบบ R175H, Glu248 ในระบบ R248Q และ Arg175 กับ Arg 248 ในระบบ wild-type เพื่อให้ทราบถึงการเปลี่ยนแปลงโครงสร้างของกรดอะมิโนดังกล่าวในระหว่างการศึกษา ด้วย MD Simulation โดยเปรียบเทียบกับโครงสร้างเริ่มต้นของตัวมันเอง

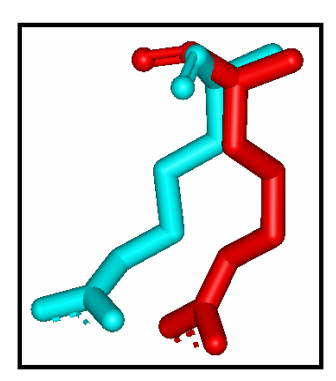


ร**ูปที่ 85** กราฟแสดงความสัมพันธ์ระหว่าง (a) ค่า RMSD ของกรดอะมิโนในตำแหน่งที่ 175 ของ ระบบ R175H และระบบ wild-type (b) ค่า RMSD ของกรดอะมิโนในตำแหน่ง 248 ของระบบ R248Q และระบบ wild-type เปรียบเทียบกับโครงสร้างเริ่มต้น เทียบกับเวลา

จากกราฟในรูปที่ 85(a) จะเห็นได้ว่าค่า RMSD ของ Arg175 ในระบบ wild-type มีค่าค่อนข้างน้อย โดยค่า RMSD เฉลี่ยมีค่าเท่ากับ 0.3 Å และค่า RMSD ค่อนข้างคงที่ตลอดการศึกษาด้วย MD Simulation แสดงว่าโครงสร้างของ Arg175 ในระบบ wild-type มีการเปลี่ยนแปลงโครงสร้างไปจาก โครงสร้างเริ่มต้นน้อยมาก และไม่พบการเปลี่ยนแปลงโครงสร้างที่ชัดเจนในระหว่างการศึกษาด้วย MD Simulation ส่วน Arg248 ในระบบ wild-type (รูปที่ 85(b)) พบว่ามีการเปลี่ยนแปลงค่า RMSD ในช่วง 2000 – 3000 ps โดยจะเป็นการเปลี่ยนแปลงระหว่างค่า RMSD เฉลี่ย 2 ค่าคือ 0.1 Å และ 0.8 Å นั่น

แสดงว่ากรดอะมิโนดังกล่าวมีโครงสร้าง 2 แบบ ดังแสดงในรูปที่ 86 และสามารถสลับไปมาระหว่าง กันได้ในระหว่างการศึกษาด้วย MD Simulation

เมื่อพิจารณาค่า RMSD ของกรดอะมิโนทั้ง 2 ตำแหน่งในระบบที่เกิดการกลายพันธุ์คือ His175 ใน ระบบ R175H และ Glu248 ในระบบ R248Q พบว่าทั้ง 2 ตำแหน่งมีค่า RMSD มากกว่าระบบ wild-type เนื่องจากในระบบ R175H และ R248Q มีการเปลี่ยนแปลงชนิดของกรดอะมิโนเพื่อสร้างโปรตีน p53 ที่ เกิดการกลายพันธุ์ ทำให้ระบบต้องหาโครงสร้างที่เสถียรของกรดอะมิโนชนิดใหม่จึงมีการเปลี่ยนแปลง สูงมาก นอกจากนี้ยังพบว่า His175 ในระบบ R175H มีค่า RMSD ค่อนข้างคงที่แสดงว่าโครงสร้างของ His175 ไม่มีการเปลี่ยนแปลงในระหว่างการทำ MD Simulation ส่วน Glu248 ในระบบ R248Q จะ พบว่ามีการเปลี่ยนแปลงของค่า RMSD ที่เวลา 2750 ps แสดงว่า Glu248 มีการเปลี่ยนแปลง โครงสร้างในระหว่างการศึกษาด้วย MD Simulation เช่นเดียวกับระบบ wild-type

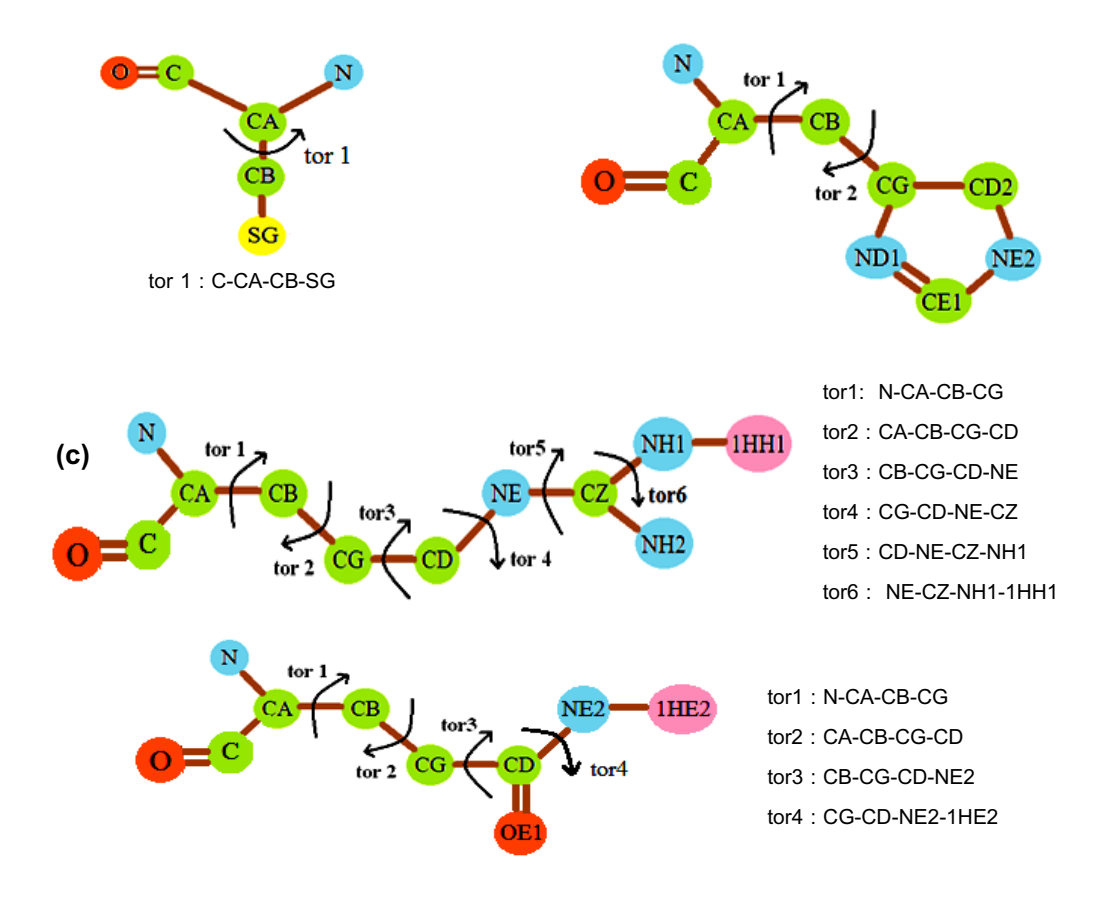


ร**ูปที่ 86** โครงสร้างของกรดอะมิโน Arg248 ในระบบ wild-type โดยสีฟ้า คือ Arg248 ที่เวลา 2049 ps และสีแดง คือ Arg248 ที่เวลา 3100 ps

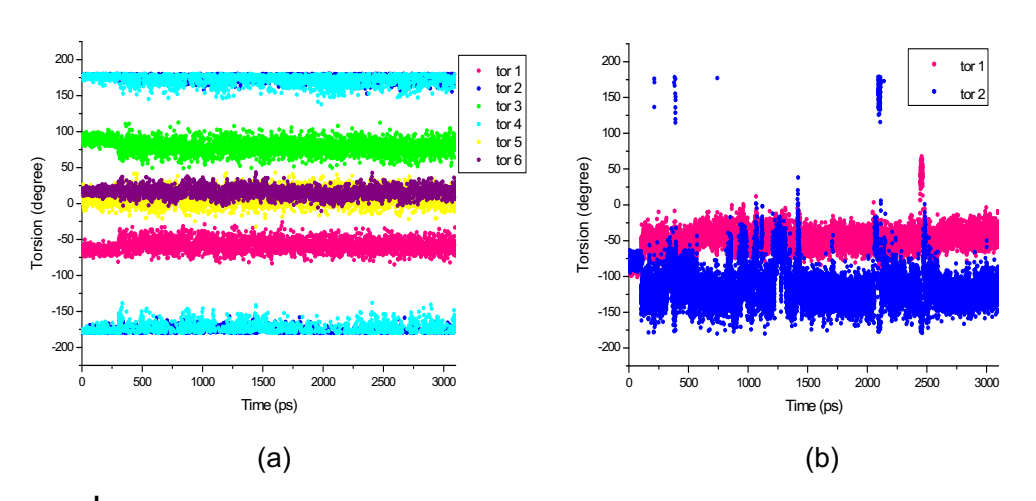
### 5. การหมุนพันธะของกรดอะมิโนในตำแหน่งที่เกิดการกลายพันธุ์

ในการศึกษาการหมุนพันธะภายในกรดอะมิโน ผู้วิจัยได้คำนวณหาค่า torsion angle ของพันธะ ภายในกรดอะมิโนที่เกิดการกลายพันธุ์ของทั้ง 3 ระบบ ได้แก่ His175 ในระบบ R175H, Glu248 ใน ระบบ R248Q และ Arg175 กับ Arg 248 ในระบบ wild-type เพื่อให้ทราบถึงการหมุนของพันธะเคมี ภายในกรดอะมิโน ซึ่งมีผลทำให้โครงสร้างของกรดอะมิโนเกิดการเปลี่ยนแปลงในระหว่างการศึกษาด้วย MD Simulation โดยเทียบกับค่า torsion angle ของพันธะเดียวกันในโครงสร้างเริ่มต้น

จากการศึกษาโครงสร้างของ Histidine, Glutamine และ Arginine พบว่าสามารถนิยาม torsion angle ของพันธะภายในกรดอะมิโนดังกล่าวได้ดังรูปที่ 87(a), 87(b) และ 87(c) ตามลำดับ



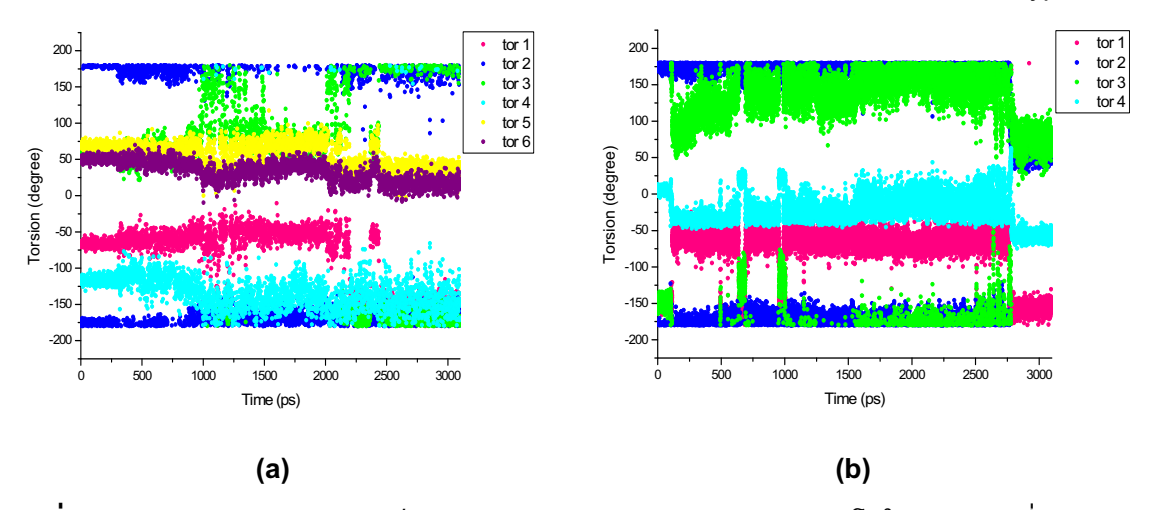
ร**ูปที่ 87** แสดงการกำหนดอะตอมเพื่อใช้ศึกษาการหมุนพันธะ (a) Cysteine (b) Histidine (c) Arginine (d) Glutamine



ร**ูปที่ 88** กราฟแสดงความสัมพันธ์ระหว่างค่า torsion angle ของกรดอะมิโนในตำแหน่งที่ 175 เทียบกับเวลา โดย (a) ระบบ wild-type (Arg175) (b) ระบบ R175H (His175)

จากกราฟในรูปที่ 88 เป็นการเปรียบเทียบการหมุนพันธะระหว่างการศึกษาด้วย MD Simulation ของกรดอะมิโนตำแหน่งที่ 175 ในระบบ wild-type (Arg175) กับระบบ R175H (His175) ซึ่งจะเห็นได้ ว่าค่า torsion angle ทั้งหมดของ Arg175 มีค่าคงที่ตลอดการศึกษาด้วย MD Simulation โดยค่า tor1 - tor6 จะมีค่าเฉลี่ยเท่ากับ -70, 180, 85, 0 และ 20 องศา ตามลำดับ แสดงว่าพันธะทุกพันธะ ของ Arg175 ในระบบ wild-type ไม่เกิดการหมุนพันธะเลย ซึ่งสอดคล้องกับค่า RMSD ของ Arg175 ใน ระบบ wild-type (กราฟเส้นสีน้ำเงินในรูปที่ 85(a)) ที่มีค่าคงที่ตลอดการศึกษาด้วย MD Simulation แสดงให้เห็นว่าโครงสร้างของ Arg175 ในระบบ wild-type ไม่มีการเปลี่ยนแปลงโครงสร้างเลย

ส่วนในกรณีของ His175 พบว่าค่า torsion angle มีการเปลี่ยนแปลงขึ้นลงอยู่ในช่วงกว้างกว่า Arg175 ในระบบ wild-type โดยเฉพาะมุม tor2 จะมีการแกว่งขึ้นลงของค่า torsion angle ค่อนข้างมาก แต่ก็ไม่พบการเปลี่ยนแปลงค่า torsion angle อย่างถาวร ซึ่งสอดคล้องกับค่า RMSD ของ His175 ในระบบ R175H (กราฟเส้นสีดำในรูปที่ 85(a)) ที่มีค่า RMSD ส่วนใหญ่คงที่แสดงให้ เห็นว่าโครงสร้างของ His175 ในระบบ R175H มีการเปลี่ยนแปลงมากกว่าในระบบ wild-type



ร**ูปที่ 89** กราฟแสดงความสัมพันธ์ระหว่างค่า torsion angle ของกรดอะมิโนในตำแหน่งที่ 248 เทียบกับเวลา (a) ระบบ wild-type (Arg248) (b) ระบบ R248Q (Glu248)

จากกราฟในรูปที่ 89 เป็นการเปรียบเทียบการหมุนพันธะระหว่างการศึกษาด้วย MD Simulation ของกรดอะมิโนตำแหน่งที่ 248 ในระบบ wild-type (Arg248) กับระบบ R248Q (Glu248) ซึ่งจะเห็นได้ ว่าค่า torsion angle ของ Arg248 นั้นมี 4 มุมที่มีค่าไม่คงที่ ซึ่งมีการเปลี่ยนแปลงเล็กน้อยแต่ไม่ชัดเจน คือ มุมที่ 2 (tor 2), มุมที่ 4 (tor 4), มุมที่ 5 (tor 5) และมุมที่ 6 (tor 6) โดยมีค่าเท่ากับ 180, -175, 60, และ 50 องศาตามลำดับ แสดงว่าพันธะทั้ง 4 พันธะนี้เกิดการหมุนเพียงเล็กน้อยเท่านั้น ส่วนอีก 2 มุมคือมุมที่ 1 (tor 1) และมุมที่ 3 (tor 3) พบว่ามีการเปลี่ยนแปลงมุมการหมุนพันธะอย่างชัดเจน โดยมุมที่ 1 มีค่า เปลี่ยนแปลงจาก -70 องศาเป็น -160 องศา และมุมที่ 3 มีค่าเปลี่ยนแปลงสลับไปมาระหว่าง 60 กับ -180 แสดงว่าพันธะระหว่าง CA กับ CB และ CG กับ CD ของ Arg248 ในระบบ wild-type มีการหมุนพันธะ ซึ่งสอดคล้องกับค่า RMSD ในรูปที่ 85(b) (กราฟเส้นสีแดงในรูปที่ 85(b)) ที่มีค่า RMSD ไม่คงที่ แสดงให้ เห็นว่าโครงสร้างของ Arg248 มีการเปลี่ยนแปลงสลับไปมาได้ 2 โครงสร้าง

ส่วนในกรณีของ Glu248 พบว่ามีการเปลี่ยนแปลงทั้ง 4 มุมที่เวลา 2750 ps คือ มีการหมุนไปพร้อมๆ กันทั้ง 4 พันธะ แสดงให้เห็นว่ามีการเปลี่ยนแปลงมุมการหมุนพันธะของ Glu248 ในระบบ R248Q ที่เวลา ดังกล่าวทั้ง 4 พันธะ ซึ่งสอดคล้องกับค่า RMSD ในรูปที่ 85(b) (กราฟเส้นสีแดงในรูปที่ 85(b)) ที่ค่า RMSD ไม่คงที่ แสดงว่าโครงสร้างของ Glu248 มีการเปลี่ยนแปลง

#### 6. พันธะไฮโดรเจนระหว่างโปรตีน p53 และ DNA

การวิเคราะห์หาพันธะไฮโดรเจนระหว่างโปรตีน p53 และ DNA เพื่อศึกษาผลกระทบของการ กลายพันธุ์ที่มีต่อพันธะไฮโดรเจนระหว่างโปรตีน p53 และ DNA โดยผู้วิจัยกำหนดให้โปรตีน p53 เป็น ตัวรับอิเล็กตรอน (Electron acceptor) และ DNA เป็นตัวให้อิเล็กตรอน (Electron donor) จากนั้นทำ การวิเคราะห์ซ้ำอีกครั้งโดยทำการสลับให้ DNA เป็นตัวรับอิเล็กตรอนและโปรตีน p53 เป็นตัวให้ อิเล็กตรอน เพื่อให้ได้พันธะไฮโดรเจนระหว่างโปรตีน p53 และ DNA ครบถ้วน โดยศึกษาพันธะ ไฮโดรเจนที่เกิดขึ้นในช่วงเวลา 2100-3100 ps

**ตารางที่ 4** ผลการวิเคราะห์หาพันธะไฮโดรเจนระหว่างโปรตีน p53 และ DNA ทั้ง 3 ระบบ

Donor	(DNA)	,	Acceptor (Prote	in)	% Occupied		d
Atom	Residue	H-Atom	Heavy Atom	Amino Acid	wild-type	R175H	R248Q
O2P	G8B	Н	N	ALA276	14.71	99.48	99.98
O2P	G8B	HH22	NH2	ARG280	0.45	100	98.04
O1P	G8B	HG	OG	SER241	99.74	98.86	74.74
O1P	G8B	HD21	ND2	ASN239	-	0.12	99.98
O1P	G8B	Н	N	ALA276	0.19	95.16	71.16
N7	G8B	HH12	NH1	ARG280	90.26	76.46	99.72
N7	G8B	HH22	NH2	ARG280	99.42	0.32	17.28
C6	G8B	HH12	NH1	ARG280	97.42	0.12	5.24
C8	G8B	HH12	NH1	ARG280	1.81	92.84	84.40
H8	G8B	HH12	NH1	ARG280	-	93.52	59.00
Р	G8B	HG	OG	SER241	99.48	93.18	87.18
Р	G8B	Н	N	ALA276	0.06	94.38	90.10
O2P	T7B	HH12	NH1	ARG273	99.81	12.84	98.28
O2P	T7B	HH22	NH2	ARG273	91.16	20.90	85.94
O1P	T7B	HE	NE	ARG248	99.42	99.66	-
O1P	T7B	HH21	NH2	ARG248	95.29	76.10	-
O1P	Т7В	HH12	NH1	ARG273	24.26	99.70	20.76

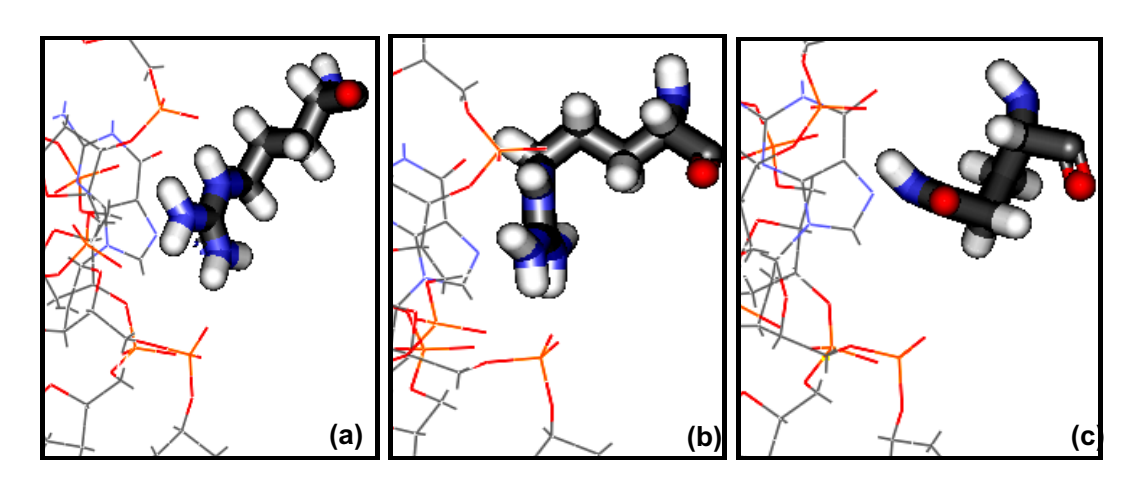
O5'	T7B	HH22	NH2	ARG273	93.87	99.42	94.60
Р	T7B	HH12	NH1	ARG273	94.45	97.12	88.52
Р	T7B	HE	NE	ARG248	74.52	97.32	-
Р	T7B	HH22	NH2	ARG273	90.52	86.94	87.12
O3'	A6B	HH21	NH2	ARG248	68.39	91.34	-
O2P	G12A	HH22	NH2	ARG248	20.58	98.30	-
O1P	G12A	HH12	NH1	ARG248	8.97	99.92	-
Р	G12A	HH12	NH1	ARG248	48.71	97.08	-
Р	G12A	HH22	NH2	ARG248	2.19	98.52	-
O2P	G2A	Н	N	LYS120	0.13	96.12	99.16
O3'	C1A	Н	N	LYS120	-	91.48	-
	Total (จำนวนพันธะไฮโดรเจนทั้งหมด)						8

จากการวิเคราะห์หาพันธะไฮโดรเจนที่ยึดจับระหว่างโปรตีน p53 กับ DNA พบว่ามีพันธะไฮโดรเจน จำนวนมากที่ยึดจับระหว่างโปรตีน p53 กับ DNA คณะผู้วิจัยจึงเลือกศึกษาเฉพาะพันธะไฮโดรเจนที่ เกิดขึ้น 90 % ขึ้นไปของเวลาที่ศึกษาด้วย MD Simulation ทั้งหมด ดังแสดงในตารางที่ 4 ซึ่งจาก การศึกษาพบพันธะไฮโดรเจนในระบบ wild-type ทั้งสิ้น 12 พันธะ, ระบบ R175H พบ 20 พันธะ และระบบ R248Q พบ 8 พันธะ โดยพันธะไฮโดรเจนทั้งหมดที่พบจะมี DNA เป็นตัวให้อิเล็กตรอนและโปรตีน p53 เป็นตัวรับอิเล็กตรอน และเป็นพันธะไฮโดรเจนที่เกิดขึ้นที่ DNA 6 ตำแหน่ง คือ DNA ลำดับที่ 8 ของสาย B, 7 ของสาย B, 6 ของสาย B, 12 ของสาย A, 2 ของสาย A และ 1 ของสาย A กับโปรตีน p53 ดังตารางที่ 4 โดยสัญลักษณ์ G8B, T7B, A6B, G12A, G2A และ C1A มีความหมายดังตารางที่ 5

ตารางที่ 5 ความหมายของสัญลักษณ์ในลำดับสายDNA

สัญลักษณ์	ความหมาย
G8B	เบส guanine ของDNAสาย B ลำดับที่ 8
Т7В	เบส Thymine ของDNAสาย B ลำดับที่ 7
A6B	เบส Adenine ของDNAสาย B ลำดับที่ 6
G12A	เบส Guanine ของDNAสาย A ลำดับที่ 12
G2A	เบส Guanine ของDNAสาย A ลำดับที่ 2
C1A	เบส Cytosine ของDNAสาย A ลำดับที่ 1

จากการวิเคราะห์พันธะไฮโดรเจนพบว่าระบบ R175H มีจำนวนพันธะไฮโดรเจนมากที่สุด ซึ่งจะ เห็นได้อย่างชัดเจนที่ตำแหน่ง Arg248 ที่สามารถเกิดพันธะไฮโดรเจนได้ถึง 5 พันธะ ขณะที่ในระบบ wild-type และระบบ R248Q ไม่เกิดพันธะไฮโดรเจนระหว่างโปรตีน p53 กับ DNA หรือเกิดได้น้อย กว่า 90% ที่กรดอะมิโนตำแหน่งนี้ ทั้งนี้เนื่องจากบริเวณหมู่แทนที่ของ Arg248 ในระบบ R175H มีลักษณะโครงสร้างของหมู่แทนที่ที่สามารถเกิดพันธะไฮโดรเจนได้ดี ดังแสดงในรูปที่ 89 ตัวอย่างเช่น ตำแหน่งไนโตรเจนอะตอมของ Arg248 ในระบบ R175H มีลักษณะซื้ลงพุ่งเข้าหา ตำแหน่งฟอสเฟตในสาย DNA ทำให้ระยะห่างระหว่างกรดอะมิโนตำแหน่งดังกล่าวใกล้กับฟอสเฟต มากขึ้นจนเกิดเป็นพันธะไฮโดรเจนได้ ในขณะที่ในโตรเจนอะตอมของ Arg248 ในระบบ wild-type มี ระยะห่างระหว่างฟอสเฟตในสาย DNA มากกว่าจึงทำให้ไม่พบพันธะไฮโดรเจน ส่วนในระบบ R248Q ตำแหน่งที่ 248 คือตำแหน่งที่เกิดการกลายพันธุ์จาก Arg เป็น Glu ทำให้หมู่แทนที่ของกรดอะมิโน ดังกล่าวมีลักษณะสั้นกว่ากรดอะมิโนเดิม และมีระยะห่างมากขึ้น ทำให้กรดอะมิโนตำแหน่งนี้ไม่ สามารถเกิดพันธะไฮโดรเจนได้ ซึ่งพันธะไฮโดรเจนเหล่านี้มีผลช่วยทำให้โปรตีน p53 ยึดจับกับ DNA ในระบบ R175H ได้แข็งแรงมากขึ้นและยังส่งผลไปยังค่าพลังงานในการยึดจับทำให้มีค่าพลังงาน ในการยึดจับตำและโครงสร้างมีความเสถียรใกล้เคียงกับระบบ wild-type อีกด้วย



ร**ูปที่ 90** แสดงลักษณะการเกิดพันธะไฮโดรเจนระหว่าง DNA กับกรดอะมิโนตำแหน่งที่ 248 (a) wild-type (b) R175H (c) R248Q

# 7. พันธะไฮโดรเจนระหว่างกรดอะมิโนตำแหน่งที่เกิดการกลายพันธุ์ในระบบ wild-type, R175H และ R248Q กับกรดอะมิโนอื่น ๆ ที่อยู่ล้อมรอบ

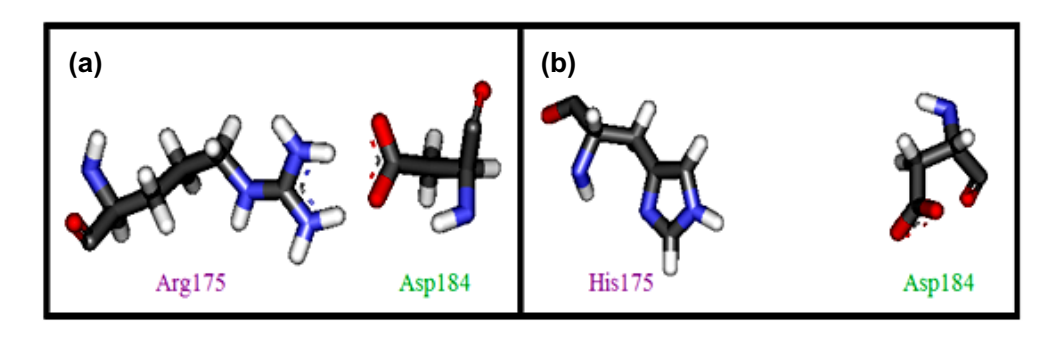
การวิเคราะห์หาพันธะไฮโดรเจนระหว่างกรดอะมิโนตำแหน่งที่เกิดการกลายพันธุ์กับกรดอะมิโน อื่นๆ ที่อยู่ล้อมรอบของโปรตีน p53 เพื่อศึกษาผลกระทบของการกลายพันธุ์ที่มีต่อพันธะไฮโดรเจน ภายในโครงสร้างของโปรตีน p53 กับกรดอะมิโนอื่นๆ ที่อยู่ล้อมรอบของโปรตีน p53 ซึ่งผู้วิจัยได้ทำ การวิเคราะห์กรดอะมิโนในตำแหน่งที่ 175 และ 248 กับกรดอะมิโนที่อยู่ล้อมรอบของโปรตีน p53 โดย เปรียบเทียบระหว่าง His175 ระบบ R175H กับ Arg175 ในระบบ wild-type และเปรียบเทียบ ระหว่าง Glu248 ในระบบ R248Q กับ Arg248 ในระบบ wild-type ซึ่งกำหนดให้กรดอะมิโนที่อยู่ล้อมรอบของโปรตีน p53 เป็นตัวรับอิเล็กตรอนและกรดอะมิโนตำแหน่งที่เกิดการกลายพันธุ์เป็นตัวให้

อิเล็กตรอน จากนั้นทำการวิเคราะห์อีกครั้งโดยสลับให้กรดอะมิโนในตำแหน่งที่เกิดการกลายพันธุ์ เป็นตัวรับอิเล็กตรอนและกรดอะมิโนที่อยู่ล้อมรอบของโปรตีน p53 เป็นตัวให้อิเล็กตรอน เพื่อให้ สามารถค้นหาพันธะไฮโดรเจนระหว่างกรดอะมิโนที่อยู่ล้อมรอบของโปรตีน p53 และกรดอะมิโน ตำแหน่งที่เกิดการกลายพันธุ์ได้อย่างครบถ้วน โดยศึกษาพันธะไฮโดรเจนในช่วงเวลา 2100-3100 ps

**ตารางที่ 6** ผลการวิเคราะห์หาพันธะไฮโดรเจนระหว่างโปรตีน p53 กับกรดอะมิโนตำแหน่งที่เกิดการ กลายพันธุ์ 3 ระบบ

Donor		Acceptor			% Occupied		
Atom	Amino Acid	H-Atom	Heavy Atom Amino Acid		Wild-type	R175H	R248Q
0	Pro191	HH11	NH1	Arg175	99.74	-	-
O Pro	F10191	HE2	NE2	His175	-	2.64	-
OD2	Asp184	HH22	NH2	Arg175	99.68	1	-
CG	Asp184	HH12	NH1	Arg175	99.03	-	-
CG	Asp184	HH22	NH2	Arg175	97.48	-	-
OD2	Asp184	HH12	NH1	Arg175	96.90	-	-
OD1	Asp184	HH12	NH1	Arg175	96.00	-	-
0	Met237	HE	NE	Arg175	94.97	-	-
O	IVICIZO	HE2	NE2	His175	-	0.16	-

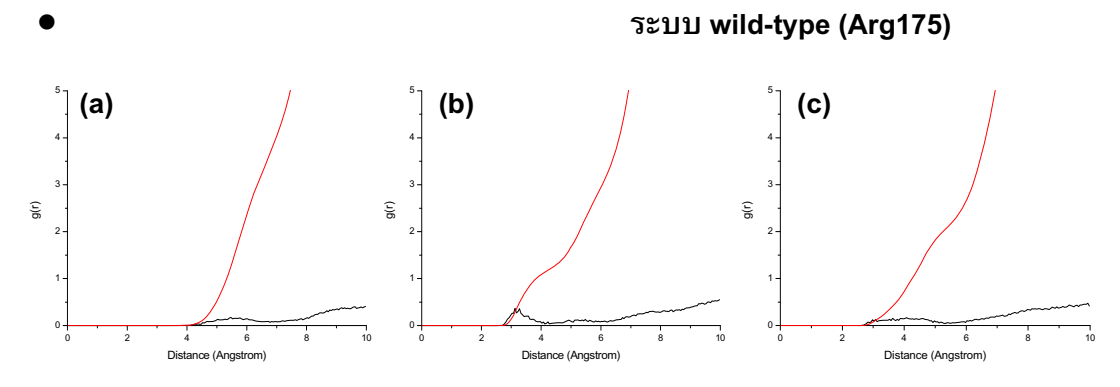
จากการวิเคราะห์ผู้วิจัยได้เลือกศึกษาเฉพาะพันธะไฮโดรเจนที่เกิดขึ้นมากกว่า 90% ของเวลาที่ศึกษา ด้วย MD Simulation ดังแสดงในตารางที่ 6 จากการศึกษาพันธะไฮโดรเจนพบว่าในระบบ wild-type มี พันธะไฮโดรเจนเกิดขึ้นระหว่าง Pro191, Asp184 และ Met237 กับกรดอะมิโนตำแหน่งที่ Arg175 จำนวน 7 พันธะ เมื่อทำการศึกษาลักษณะของโครงสร้างพบว่าเมื่อผ่านการทำ MD Simulation กรดอะมิโนตำแหน่ง Asp184 กับกรดอะมิโนตำแหน่ง Arg175 มีลักษณะโครงสร้างที่หันหมู่แทนที่เข้าหากัน ทำให้ระยะห่าง ของกรดอะมิโนทั้ง 2 ตำแหน่งใกลักันจึงสามารถเกิดพันธะไฮโดรเจนได้ ขณะที่ระบบ R175H กรดอะมิโนระหว่าง Asp184 กับ His175 มีระยะห่างมาก และหมู่แทนที่ของ His175 มีลักษณะสั้นกว่า Arg175 ทำให้ไม่สามารถเกิดพันธะไฮโดรเจนได้ ดังแสดงในรูปที่ 90 แสดงให้เห็นว่าระบบ R175H ที่เกิดการกลาย พันธุ์นั้นส่งผลทำให้มีพันธะไฮโดรเจนภายในโมเลกุลโปรตีน p53 ลดน้อยลง ซึ่งอาจจะมีผลต่อความ เสถียรของโปรตีนเอง ส่วน Glu248 ในระบบ R248Q และ Arg248 ในระบบ wild-type ไม่เกิดพันธะไฮโดรเจนที่เกิดขึ้นมากกว่า 90%



ร**ูปที่ 91** ลักษณะการเกิดพันธะไฮโดรเจนระหว่างโปรตีน p53 กับกรดอะมิโนตำแหน่งที่ 184 (a) wild-type (b) R175H

# การ กระจายตัวของโมเลกุลน้ำในแนวรัศมี (RDF) ล้อมรอบอะตอมของกรดอะมิโนต่าง ๆ

การวิเคราะห์หาการกระจายตัวของโมเลกุลน้ำในแนวรัศมีล้อมรอบกรดอะมิโน เป็นการวิเคราะห์ หาโมเลกุลน้ำที่มีบทบาทหน้าที่สำคัญต่อการทำงานของโปรตีน p53 ซึ่งผู้วิจัยได้ทำการวิเคราะห์หา การกระจายตัวของโมเลกุลน้ำล้อมรอบกรดอะมิโนที่เกิดการกลายพันธุ์ของแต่ละระบบได้แก่ กรดอะ มิโนตำแหน่งที่ Arg175 และ Arg248 ในระบบ wild-type, His175 ในระบบ R175H และ Glu248 ในระบบ R248Q โดยกำหนดให้อะตอมศูนย์กลางของ Arg และ His คืออะตอมในโตรเจนในหมู่ แทนที่ และอะตอมศูนย์กลางของ Glu คืออะตอมในโตรเจนกับอะตอมออกซิเจน และกำหนดให้หา โมเลกุลน้ำในระยะ 0.05-10 Å ซึ่งวัดจากอะตอมที่สนใจไปยังอะตอมออกซิเจนของน้ำ โดยศึกษาหา การการกระจายตัวของโมเลกุลน้ำในแนวรัศมีในช่วงเวลา 2100-3100 ps

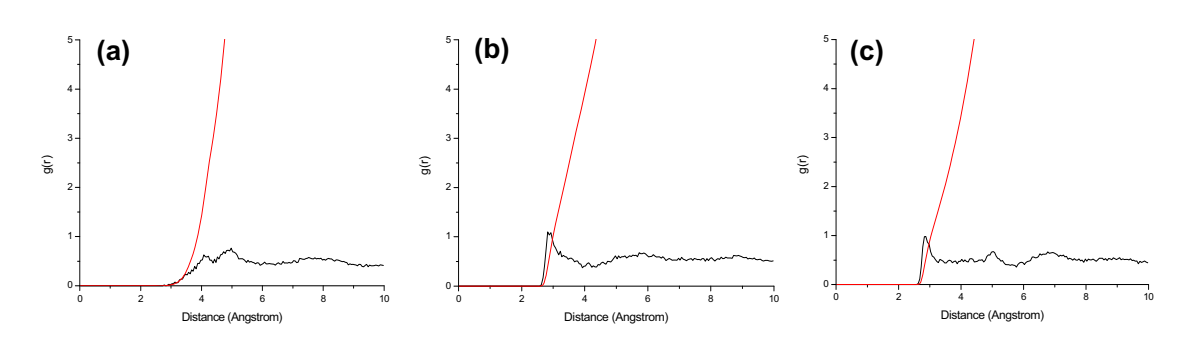


ร**ูปที่ 92** กราฟ RDF ของโมเลกุลน้ำที่อยู่ล้อมรอบ Arg175 ในระบบ wild-type (a) อะตอม NE (b) อะตอม NH1 (c) อะตอม NH2

จากกราฟรูปที่ 92 เป็นการศึกษาการกระจายตัวของโมเลกุลน้ำในแนวรัศมีล้อมรอบอะตอม NE, NH1 และ NH2 ของ Arg175 ในระบบ wild-type โดยเส้นกราฟสีดำแสดงถึงความน่าจะ เป็นในการพบน้ำที่รัศมีต่างๆ ส่วนเส้นกราฟสีแดงแสดงถึงค่าผลรวมพื้นที่ใต้กราฟของเส้นสีดำ ซึ่งสามารถบอกถึงจำนวนน้ำที่รัศมีต่างๆ ได้ ซึ่งจากการวิเคราะห์พบว่าความน่าจะเป็นที่จะพบน้ำ

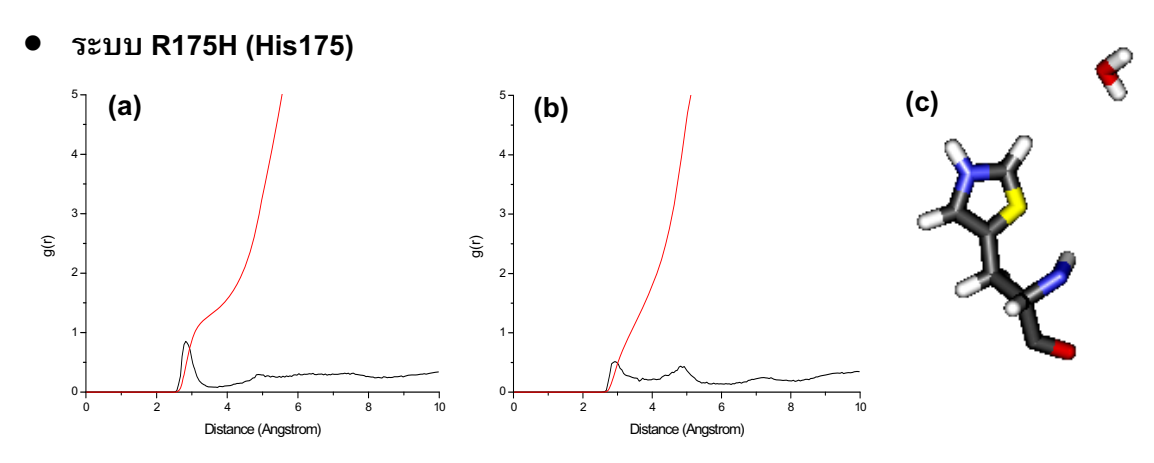
ต่ำมาก ซึ่งถือว่าไม่มีโมเลกุลน้ำที่เกิดพันธะไฮโดรเจนกับอะตอม NE, NH1 และ NH2 ในกรดอะมิ โนตำแหน่ง Arg175 ในระยะ 10 Å สังเกตได้จากกราฟเส้นสีดำที่ไม่มี peak พุ่งขึ้นอย่างชัดเจน เลย

#### • ระบบ wild-type (Arg248)



ร**ูปที่ 93** กราฟ RDF ของโมเลกุลน้ำที่อยู่ล้อมรอบ Arg248 ในระบบ wild-type
(a) อะตอม NE (b) อะตอม NH1 (c) อะตอม NH2

จากกราฟรูปที่ 93 เป็นการศึกษาการกระจายตัวของโมเลกุลน้ำในแนวรัศมีล้อมรอบอะตอม NE, NH1 และ NH2 ของ Arg248 ในระบบ wild-type จากการวิเคราะห์พบว่ารูปที่ 93(a) ไม่มี โมเลกุลน้ำที่สร้างพันธะไฮโดรเจนกับอะตอม NE ในตำแหน่ง Arg248 สังเกตได้จากกราฟเส้นสี ดำที่ไม่มี peak พุ่งขึ้นอย่างชัดเจน ส่วนรูปที่ 93(b) และ 93(c) จะเห็นว่ากราฟเส้นสีดำมี peak ขึ้นแต่น้อยมาก และเส้น peak ลงมาไม่ถึงแกน X แสดงว่าบริเวณอะตอม NH1 และ NH2 มี โมเลกุลน้ำผ่านเข้าออก แต่โมเลกุลน้ำที่ผ่านเข้ามานั้นไม่อยู่กับที่ กล่าวคือ โมเลกุลน้ำดังกล่าวมี การผ่านเข้ามาแค่ระยะเวลาสั้นๆ เมื่อเวลาผ่านไปก็มีการเคลื่อนย้ายออกไป แสดงว่าบริเวณอะตอม NH1 และ NH2 ไม่มีโมเลกุลน้ำที่มีบทบาทสำคัญต่อกรดอะมิโน Arg248 ในระบบ wild-type

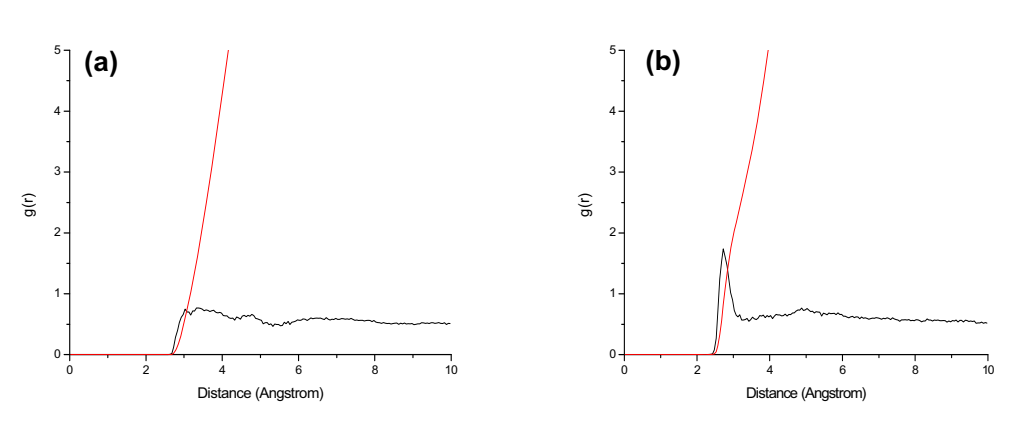


ร**ูปที่ 94** กราฟ RDF ของโมเลกุลน้ำที่อยู่ล้อมรอบ His175 ในระบบ R175H

(a) อะตอม ND1 (b) อะตอม NE2 (c) ตำแหน่งโมเลกุลน้ำที่อยู่ล้อมรอบ His175

จากกราฟรูปที่ 94 เป็นการศึกษาการกระจายตัวของโมเลกุลน้ำในแนวรัศมีล้อมรอบอะตอม ND1 และ NE2 ของ His175 ในระบบ R175H พบว่าจากรูปที่ 94(a) แสดงให้เห็นว่ามีโมเลกุล น้ำล้อมรอบ His175 บริเวณอะตอม ND1 ซึ่งสังเกตได้จากกราฟเส้นสีดำที่มี peak ขึ้นที่ ระยะทางประมาณ 3 Å โดยโมเลกุลน้ำที่ระยะทาง 3 Å มีจำนวนทั้งสิ้น 1 โมเลกุล สังเกตจาก กราฟเส้นสีแดง เมื่อดูจากโครงสร้างสามมิติที่ได้จากการศึกษา MD Simulation ก็พบน้ำโมเลกุล นี้ในลักษณะที่แสดงดังรูปที่ 94(c) ส่วนรูปที่ 94(b) แสดงให้เห็นว่ามีโมเลกุลน้ำผ่านเข้าออก บริเวณอะตอม NE2 แต่ไม่อยู่กับที่ สังเกตได้จากกราฟเส้นสีดำที่ขึ้น peak น้อยมาก และ peak ลงมาไม่ถึงแกน X แสดงว่าบริเวณอะตอม ND1 และ NE2 ของ His175 ไม่มีการสร้างพันธะ ไฮโดรเจนกับโมเลกุลน้ำ และโมเลกุลน้ำที่ผ่านเข้าบริเวณอะตอม ND1 ก็ไม่มีบทบาทสำคัญต่อ โครงสร้างของกรดอะมิโน His175 ด้วย

#### ● ระบบ R248Q (Glu248)



ร**ูปที่ 95** กราฟ RDF ของโมเลกุลน้ำที่อยู่ล้อมรอบ Glu248 ในระบบ R248Q
(a) อะตอม NE2 (b) อะตอม OE1

จากกราฟรูปที่ 95 เป็นการศึกษาการกระจายตัวของโมเลกุลน้ำในแนวรัศมีล้อมรอบอะตอม NE2 และ OE1 ของ Glu248 ในระบบ R248Q พบว่าจากกราฟทั้ง 2 กราฟแสดงให้เห็นว่ามี โมเลกุลน้ำผ่านเข้าออก แต่ไม่มีโมเลกุลน้ำที่สร้างพันธะไฮโดรเจนกับอะตอม NE1 และ OE2 ใน ตำแหน่ง Glu248 สังเกตได้จากกราฟรูปที่ 95(a) พบว่าเส้นสีดำไม่มี peak ขึ้น ส่วนกราฟรูปที่ 95(b) จะมี peak ขึ้นแต่ไม่ลงมาไม่ถึงแกน X แสดงว่าไม่พบโมเลกุลน้ำที่มีบทบาทสำคัญต่อ โครงสร้างของกรดอะมิโน Glu248

9. พลังงา

การวิเคราะห์หาค่าพลังงานในการยึดจับระหว่างโปรตีน p53 และDNA เพื่อศึกษาความเสถียรของ โครงสร้างในแต่ละระบบ ซึ่งถ้าพลังงานที่ได้ยิ่งมีค่าต่ำแสดงว่าระบบมีความเสถียร แต่ถ้าค่าพลังงาน สูงก็แสดงว่าระบบนั้น ๆ ไม่เสถียร โดยผู้วิจัยได้เลือกใช้โครงสร้างสุดท้ายในการวิเคราะห์ผล ได้ผลการ วิเคราะห์ดังตารางที่ 7

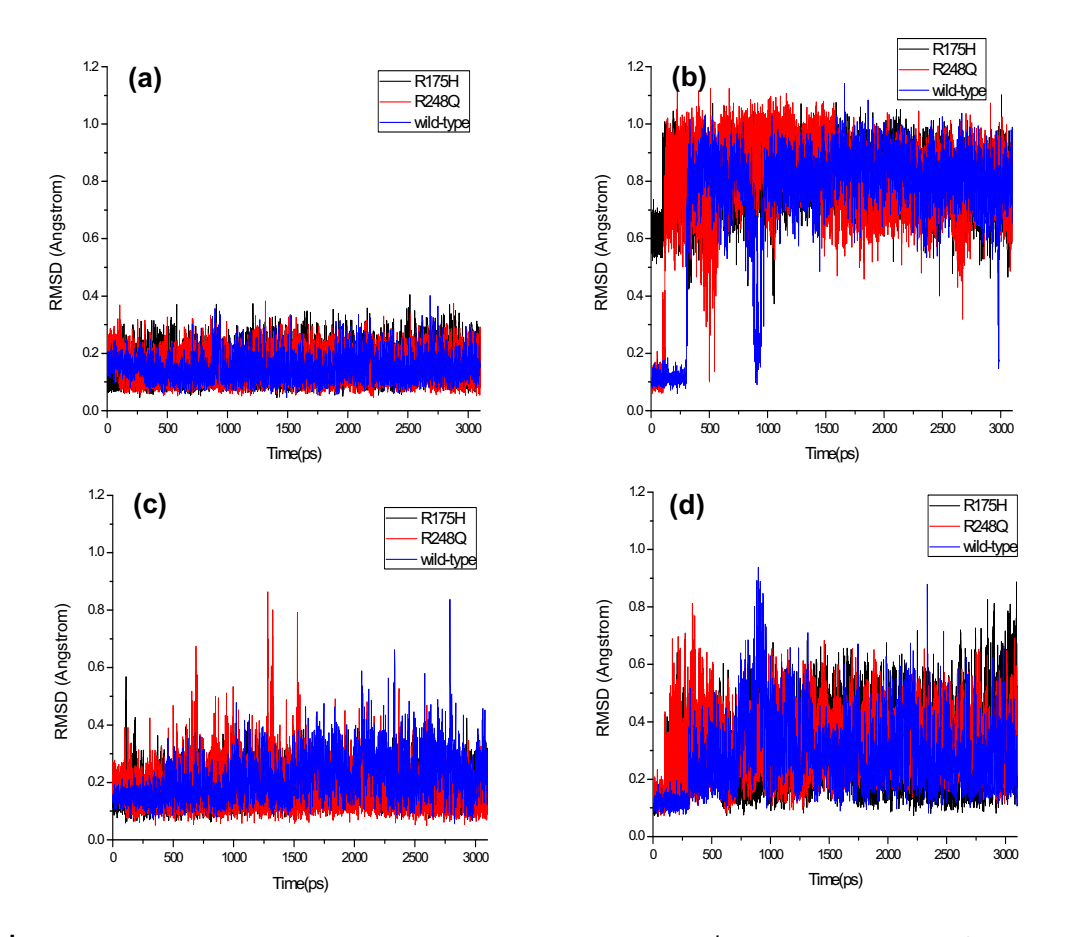
**ตารางที่ 7** การเปรียบเทียบค่าพลังงานในการยึดจับระหว่างโปรตีน p53 กับ DNA ทั้ง 3 ระบบ

ระบบ	E <sub>complex</sub> (kcal/mol)	E <sub>p53+Zn</sub> (kcal/mol)	E <sub>DNA</sub> (kcal/mol)	E <sub>binding</sub> (kcal/mol)
Wild-type	-3101.0545	-651.2484	-1397.7984	-1052.0077
R175H	-4732.4186	-1751.4428	-1957.3575	-1023.6183
R248Q	-4791.7360	-2293.3350	-1661.0751	-837.3259

จากตารางที่ 7 ผลการวิเคราะห์หาค่าพลังงานในการยึดจับระหว่างโปรตีน p53 กับDNA พบว่า ในระบบ wild-type มีค่าพลังงานต่ำที่สุดคือ -1052.0077 kcal/mol และระบบ R248Q มีค่าพลังงาน สูงที่สุดคือ -837.3259 kcal/mol ส่วนในระบบ R175H มีค่าพลังงานเท่ากับ -1023.6183 kcal/mol ดังนั้นการกลายพันธุ์ของสารประกอบเชิงซ้อนโปรตีน p53 มีผลทำให้ความสามารถใน การยึดจับ ระหว่างโปรตีน p53 กับ DNA ลดลง และยังส่งผลให้ความเสถียรของโครงสร้างลดลงด้วย

## 10. การเปลี่ยนแปลงโครงสร้างของกรดอะมิโนอยู่ที่ล้อมรอบไอออน Zn²⁺

จากโครงสร้างจากเทคนิค X-ray crystallography ของสารประกอบเชิงซ้อนโปรตีน p53 พบว่ามี Zn²+ อยู่ภายในโครงสร้าง และมีกรดอะมิโนล้อมรอบ Zn²+ อยู่ 4 กรดอะมิโน ได้แก่ Cysteine 3 กรดอะมิโน (Cysteine ตำแหน่งที่ 176, Cysteine ตำแหน่งที่ 238, Cysteine ตำแหน่งที่ 242) และ Histidine 1 กรดอะ มิโน (Histidine ตำแหน่งที่ 179) ผู้วิจัยจึงได้ทำการศึกษาหาค่า RMSD ของอะตอมทุกอะตอมในกรดอะ มิโนดังกล่าว เพื่อให้ทราบถึงการเปลี่ยนแปลงโครงสร้างของกรดอะมิโนที่อยู่ล้อมรอบไอออน Zn²+ ในระหว่างการทำ MD Simulation โดยเทียบกับตำแหน่งอะตอมของโครงสร้างกรดอะมิโน เริ่มต้น ซึ่งการวิเคราะห์หาค่า RMSD ของกรดอะมิโนทั้ง 4 ชนิด ได้ผลดังนี้



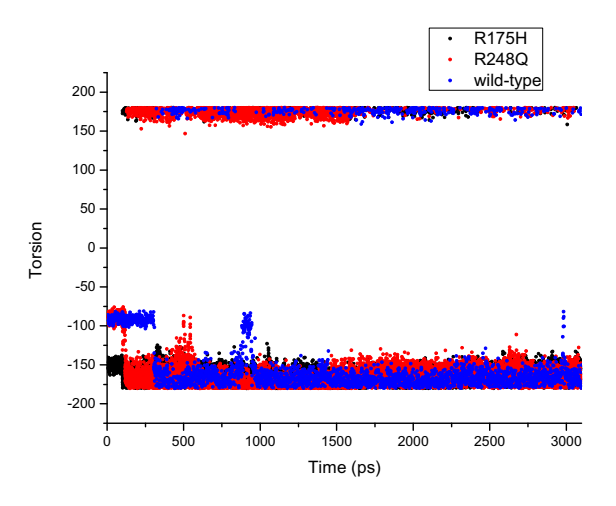
**รูปที่ 96** กราฟแสดงความสัมพันธ์ระหว่างค่า RMSD ของกรดอะมิโนที่อยู่ล้อมรอบไอออน Zn<sup>2+</sup> เทียบกับเวลา

- (a) Cysteine ตำแหน่งที่ 176
- (b) Cysteine ตำแหน่งที่ 238
- (c) Cysteine ตำแหน่งที่ 242
- (d) Histidine ตำแหน่งที่ 179

จากรูปที่ 96 พบว่า Cysteine ตำแหน่งที่ 176 แทบจะไม่มีการเปลี่ยนแปลงโครงสร้างเลย สังเกตได้ จากค่า RMSD ที่ค่อนข้างคงที่และแกว่งอยู่ในช่วงแคบ คือมีค่าไม่เกิน 0.4 Å ส่วน Cysteine ตำแหน่งที่ 242 และ Histidine ตำแหน่งที่ 179 มีการเปลี่ยนแปลงโครงสร้างเพียงเล็กน้อย สังเกตได้จาก RMSD มี ค่าไม่เกิน 1 Å ในขณะที่ Cysteine ตำแหน่งที่ 238 มีการเปลี่ยนแปลงโครงสร้างในช่วงเวลา 0-300 ps อย่างเห็นได้ชัด ซึ่งสามารถอธิบายได้ด้วยผลของมุมการหมุนพันธะ เมื่อพิจารณาค่า RMSD ของทุก ระบบพบว่ามีค่า RMSD ต่ำกว่า 1 Å ซึ่งถือว่าโครงสร้างที่ได้จากการทำ MD Simulation ไม่มีการ เปลี่ยนแปลงไปจากโครงสร้างเริ่มต้นมากนัก

# 11. การหมุนพันธะของ Cysteine ในตำแหน่งที่ 238 ทั้ง 3 ระบบ

การวิเคราะห์การหมุนพันธะของ Cys238 ผู้วิจัยได้ทำการวิเคราะห์หาค่ามุมในการหมุนพันธะของ Cys238 ทั้ง 3 ระบบ เพื่อให้ทราบถึงตำแหน่งของพันธะเคมีที่มีผลทำให้โครงสร้างของ Cys238 เกิดการ เปลี่ยนแปลงในระหว่างการทำ MD Simulation โดยเทียบกับค่ามุมเริ่มต้น ซึ่งได้ผลการวิเคราะห์ดังรูปที่

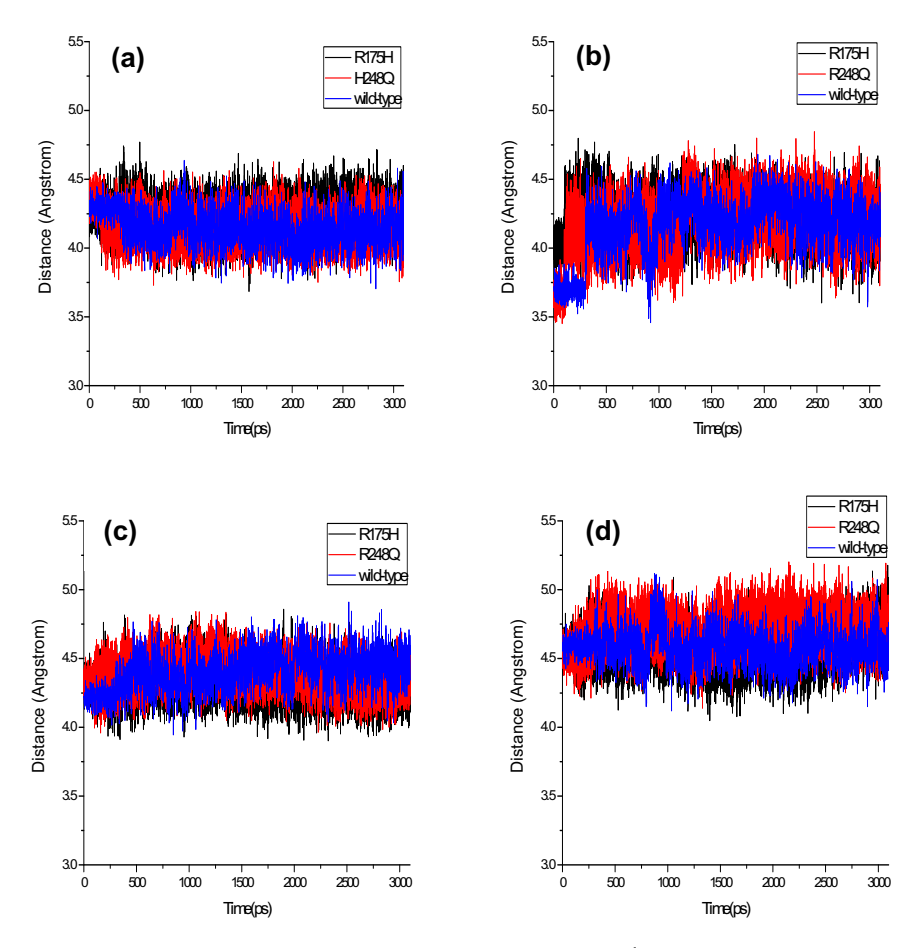


ร**ูปที่ 97** กราฟแสดงความสัมพันธ์ระหว่างค่า torsion angle ของ Cys238 เทียบกับเวลา

จากการวิเคราะห์ค่ามุมการหมุนพันธะของ Cys238 พบว่ามุมการหมุนพันธะที่ทำให้ค่า RMSD ของ Cys238 มีการเปลี่ยนแปลง คือ การหมุนของพันธะระหว่าง CA กับ CB (ดังรูปที่ 87(a)) ซึ่ง จากรูปที่ 97 กราฟแสดงให้เห็นว่าระบบทั้ง 3 ระบบ มีการเปลี่ยนแปลงค่ามุมการหมุนพันธะเหมือนกัน โดยเปลี่ยนจาก -100 องศาเป็น -180 องศา ส่งผลให้โครงสร้างของ Cys238 มีการเปลี่ยนแปลง และการ เปลี่ยนแปลงมุมการหมุนพันธะจะอยู่ในช่วงเวลา 0-300 ps ซึ่งเป็นเวลาเดียวกับการเปลี่ยนแปลง โครงสร้างของ Cys238 สังเกตได้จากค่า RMSD ที่มีการเปลี่ยนแปลงในช่วงเวลาดังกล่าว และลักษะ ของการเปลี่ยนแปลงก็มีความสอดคล้องกัน ดังรูปที่ 96(b)

#### 12. การวิเคราะห์หาระยะห่างระหว่างไอออน Zn²⁺ กับกรดอะมิโนที่ล้อมรอบ

การวิเคราะห์หาระยะห่างระหว่างไอออน  $Zn^{2+}$  กับกรดอะมิโนที่ล้อมรอบ เป็นวัดระยะห่างจาก ไอออน  $Zn^{2+}$  ไปยังกรดอะมิโนที่อยู่ล้อมรอบ เพื่อดูการเปลี่ยนแปลงของระยะห่างในระหว่างการทำ MD Simulation ซึ่งผู้ทำวิจัยได้ทำการวิเคราะห์หาระยะห่างโดยกำหนดให้วัดจากไอออน  $Zn^{2+}$  ไปยัง ตำแหน่ง  $C_{\alpha}$  ของกรดอะมิโน Cysteine 3 กรดอะมิโน (Cysteine ตำแหน่งที่ 176, Cysteine ตำแหน่งที่ 238, Cysteine ตำแหน่งที่ 242) และ Histidine 1 กรดอะมิโน (Histidine ตำแหน่งที่ 179) ซึ่งได้ผล การวิเคราะห์ดังรูปที่ 96 และทำการวิเคราะห์ระยะห่างระยะห่างระหว่างไอออน  $Zn^{2+}$  กับกรดอะมิโนที่ ล้อมรอบ โดยเปรียบเทียบระหว่างระยะห่างที่ได้จากเทคนิค X-ray crystallography กับระยะห่างที่ได้ จากการทำ MD Simulation ได้ผลการวิเคราะห์ดังตารางที่ 8



**รูปที่ 98** กราฟแสดงความสัมพันธ์ระหว่างระยะห่างของกรดอะมิโนที่อยู่ล้อมรอบไอออน  $\mathbf{Zn}^{2^+}$ เทียบกับเวลา

- (a) Cysteine ตำแหน่งที่ 176
- (b) Cysteine ตำแหน่งที่ 238
- (c) Cysteine ตำแหน่งที่ 242
- (d) Histidine ตำแหน่งที่ 179

จากกราฟจะเห็นได้ว่ามีความสอดคล้องกับค่า RMSD ของกรดอะมิโนที่อยู่ล้อมรอบไอออน Zn<sup>2+</sup> โดย Cysteine ตำแหน่งที่ 176, Cysteine ตำแหน่งที่ 242 และ Histidine ตำแหน่งที่ 179 มีค่าระยะห่าง ระหว่างไอออน Zn<sup>2+</sup> ค่อนข้างคงที่ แสดงให้เห็นว่ากรดอะมิโนดังกล่าวยังยึดจับกับไอออน Zn<sup>2+</sup> ได้ดี ใน ระหว่างการทำ MD Simulation ทำให้โครงสร้างไม่มีการเปลี่ยนแปลง ส่วน Cysteine ตำแหน่งที่ 238 พบว่าเมื่อทำ MD Simulation ระยะห่างระหว่าง Cys238 กับ Zn<sup>2+</sup> มีค่ามากขึ้น ซึ่งอาจเกิดจากโครงสร้าง ที่เปลี่ยนแปลงไปของ Cys238

**ตารางที่ 8** การเปรียบเทียบระยะห่างระหว่างไอออน Zn<sup>2+</sup> กับกรดอะมิโนที่อยู่ล้อมรอบ ที่ได้จากเทคนิค X-ray crystallography กับระยะห่างที่ได้จากการทำ MD Simulation

25	ระยะทาง (Å)					
กรดอะมิโนของ โปรตีน p53	เทคนิค X-ray	MD Simulation				
	crystallography	Wild-type	R175H	R248Q		
Cysteine 176	4.27	4.15	4.24	4.15		
Cysteine 238	3.75	4.16	4.23	4.19		
Cysteine 242	4.57	4.46	4.31	4.39		
Histidine 179	4.53	4.42	4.56	4.70		

นอกจากนี้เมื่อเปรียบเทียบค่าระยะห่างระหว่างไอออน Zn<sup>2+</sup> กับกรดอะมิโนล้อมรอบที่ได้จาก ระยะในโครงสร้าง X-ray crystallography และ MD Simulation พบว่า Cys176, Cys242 และ His179 มีการเปลี่ยนแปลงระยะห่างน้อยมาก หรืออาจกล่าวได้ว่าไม่มีการเปลี่ยนแปลงของระยะห่าง ส่วน Cys238 มีการเปลี่ยนแปลงของระยะห่างมากที่สุดเมื่อเทียบกับตำแหน่งอื่นๆ แต่ก็เปลี่ยนเพียง เล็กน้อย ทั้งนี้เนื่องมาจากการเปลี่ยนแปลงโครงสร้างของ Cys238 ซึ่งผลการวิเคราะห์มีความ สอดคล้องกันกับรูปที่ 96

# สรุปและวิจารณ์ผลการทดลอง <u>ตอนที่ 1</u> การศึกษา MD simulation ของ monomer p53 ในส่วนที่เป็น core domain

จากการศึกษาสมบัติทางไดนามิกส์ของโปรตีน p53 ในสภาวะต่าง ๆ คือ โปรตีน p53 อิสระที่อยู่ใน รูป monomer (ระบบที่ 1), โปรตีน p53 ที่อยู่ในรูป monomer และยึดจับกับ DNA (ระบบที่ 2) และ โปรตีน p53 ที่อยู่ในรูป monomer ซึ่งยึดจับกับ DNA และมี Zn²+ อยู่บริเวณ binding site (ระบบที่ 3) ด้วยวิธี MD simulation เป็นเวลา 2460 ps โดยใช้ผลการทดลองในช่วง 1460-2460 ps ซึ่งระบบอยู่ใน สภาวะสมดุลแล้ว มาวิเคราะห์ RMSD, Torsion angle, พันธะไฮโดรเจนระหว่างโปรตีน p53 และ DNA และการกระจายตัวของโมเลกุลน้ำในแนวรัศมีรอบล้อมกรดอะมิโนในตำแหน่ง hot spots (Arg82, Gly152, Arg155, Arg156, Arg180 และArg189) จากการศึกษาพบว่าการยึดจับของ DNA และ Zn²+ ใน โครงสร้างของโปรตีน p53 มีผลโดยรวมทำให้โครงสร้างของโปรตีน p53 เสถียรขึ้นสังเกตจากค่า พลังงานรวมของระบบที่ 2 และ 3ซึ่งมีค่าน้อยกว่าระบบที่1 และเมื่อพิจารณาจากค่า RMSD และ Torsion angle พบว่า DNA และ Zn²+ มีผลทำให้โครงสร้างของ Arg155 และ Arg180 เสถียรมากขึ้น แต่ ไม่มีผลต่อโครงสร้างของ Arg82, Arg156, Gly152 และ Arg189

เมื่อวิเคราะห์พันธะไฮโดรเจนระหว่างโปรตีน p53 กับ DNA พบว่ามีกรดอะมิโนที่ทำหน้าที่ยึดจับกับ DNA ในระบบที่ 2 ได้แก่ Ser28, Ser148, Arg155 และ Arg180 แต่เมื่อระบบมี Zn<sup>2+</sup> ในบริเวณ binding site (ระบบที่ 3) จะทำให้จำนวนพันธะไฮโดรเจนลดลง โดยกรดอะมิโนที่ทำหน้าที่ยึดจับกับ DNA จะ

เหลือเพียง Arg155 และ Arg180 เท่านั้น ซึ่งสอดคล้องกับงานวิจัยก่อนหน้านี้<sup>17, 28, 29</sup> และเมื่อวิเคราะห์ การกระจายตัวของโมเลกุลน้ำจะพบว่าในระบบที่ 2 และ 3 จะมีโมเลกุลน้ำเคลื่อนที่เข้ามาใกล้กรดอะมิโน ที่ทำการวิเคราะห์มากกว่าระบบที่ 1 แสดงว่า DNA และ Zn²⁺ มีส่วนช่วยทำให้โมเลกุลของน้ำเคลื่อนที่ เข้ามาใกล้โปรตีน p53 โดยโมเลกุลน้ำที่เข้ามาใกล้กรดอะมิโนอาจมีส่วนช่วยทำให้โครงสร้างมีความ เสถียรมากขึ้นเนื่องจากอาจมีการสร้างพันธะไฮโดรเจนกับโปรตีน p53 ซึ่งตรงกับงานวิจัยที่อ้างอิง¹¹

# ตอนที่ 2 การศึกษา MD simulation ของ tetramer p53 ในส่วนที่เป็น core domain

จากการศึกษาสมบัติเชิงไดนามิกส์ของโปรตีน p53 ที่อยู่ในรูปเตตระเมอร์ที่ยึดจับกับ DNA และมี ไอออน Zn²+ อยู่บริเวณ binding site ด้วยวิธี MD simulation เป็นเวลา 1060 ps โดยใช้ผลการทดลอง ในช่วง 760 - 1060 ps ซึ่งระบบอยู่ในสภาวะสมดุลแล้ว ในการวิเคราะห์หาค่า RMSD, พันธะไฮโดรเจน ระหว่างโปรตีน p53 และ DNA และการกระจายตัวของโมเลกุลน้ำในแนวรัศมีรอบล้อม ไอออน Zn<sup>2+</sup> ์ ทั้ง 4 โมโนเมอร์ จากการวิเคราะห์ผลพบว่าโครงสร้างของสารประกอบเชิงซ้อนโปรตีน p53 เมื่อทำ MD simulation ในช่วงเวลา 760 - 1060 ps ค่า RMSD ของแต่ละโมโนเมอร์จะค่อนข้างคงที่ ค่า RMSD ที่ ใกล้เคียงกัน แสดงว่าโปรตีน p53 แต่ละโมโนเมอร์มีโครงสร้างคล้ายกัน จากการวิเคราะห์พันธะ ไฮโดรเจนที่ยึดจับระหว่างโปรตีน p53 กับ DNA พบว่ามี DNA 2 ตำแหน่งที่ยึดจับโปรตีน p53 ทั้ง 4 โม โนเมอร์ คือ DNA ลำดับที่ 2 (guanine) และ 8 (guanine) ของแต่ละสายยึดจับกับโปรตีน p53 ทั้ง 4 โม โนเมอร์ โดยยึดจับกับโปรตีน p53 ลำดับที่ 26, 146, 181 และ 185 ซึ่งเป็นกรดอะมิโน Ser, Ser, Ala, Arg ตามลำดับของแต่ละโมโนเมอร์ ซึ่งช่วยทำให้โปรตีน p53 ยึดจับกับ DNA ได้แข็งแรงขึ้น นอกจากนี้ ยังพบว่าไอออน Zn²+ ของแต่ละโมโนเมอร์ เกิดการเคลื่อนที่เปลี่ยนแปลงตำแหน่งไปจากโครงสร้าง Xray เป็นระยะทาง 17.96, 7.12, 9.33, 6.25 Å สำหรับ โมโนเมอร์ A, B, C และ D ตามลำดับ ทั้งนี้ เป็นผลมาจากกรดอะมิโนที่อยู่ล้อมรอบไอออน Zn²+ เกิดการเปลี่ยนแปลงโครงสร้างและตำแหน่งของ หมู่แทนที่ทำให้แรงยึดเหนี่ยวของกรดอะมิโนดังกล่าวกับไอออน Zn²+ ลดน้อยลง น้ำจึงสามารถเข้าไป แทนที่ตำแหน่งของกรดอะมิโนที่ล้อมรอบไอออน Zn<sup>2+</sup> ได้และดึงไอออน Zn<sup>2+</sup> ออกจากตำแหน่งเดิม โดย ไอออน Zn<sup>2+</sup> ในโมโนเมอร์ A จะเคลื่อนที่ออกมาไกลที่สุดเนื่องจากมีจำนวนของโมเลกุลน้ำล้อมรอบ 6 โมเลกุล ในขณะที่โมโนเมอร์อื่น ๆ มีน้ำล้อมริบน้อยกว่า 6 โมเลกุลเป็นผลทำให้ไอออน Zn<sup>2+</sup> เคลื่อนที่ ออกจากตำแหน่งเดิมมากกว่าโมโนเมอร์อื่น เนื่องจากน้ำเป็นสาเหตุที่ดึงให้ไอออน Zn<sup>2+</sup> เกิดการ เคลื่อนที่

## <u>ตอนที่ 3</u> การศึกษา MD simulation ของ monomer p53 ที่เกิดการกลายพันธุ์ในส่วนที่เป็น core domain

จากการศึกษาการจำลองพลวัตเชิงโมเลกุลของสารประกอบเชิงซ้อนโปรตีน p53 กับดีเอ็นเอ โดย ทำการศึกษาเปรียบเทียบระหว่างโปรตีน p53 ที่เกิดการกลายพันธุ์ (R175H, R248Q) และไม่เกิด การกลายพันธุ์ (wild-type) และศึกษาเป็นเวลาทั้งสิ้น 3100 ps โดยใช้โครงสร้างในช่วงเวลา 2100-3100 ps มาทำการวิเคราะห์ผล ซึ่งในการศึกษาจะทำการศึกษาเฉพาะมอนอเมอร์ A เท่านั้น เนื่องจาก

ทั้ง 4 มอนอเมอร์มีลำดับกรดอะมิโนตรงกันทุกๆ มอนอเมอร์และสามารถซ้อนทับกันได้สนิท จากการ วิเคราะห์ผลพบว่าโครงสร้างสารประกอบเชิงซ้อนโปรตีน p53 เมื่อทำ MD Simulation ์ โครงสร้างโดยรวมในระบบ wild-type และ R248Q ค่อนข้างคงที่ ส่วนระบบ R175H ยังมีการเปลี่ยนแปลง โครงสร้างภายในสารประกอบเชิงซ้อนอยู่ตลอดเวลา สังเกตจากค่า RMSD ของโปรตีน p53 ยังเพิ่มมาก ขึ้นเรื่อยๆ ทำให้ระบบเข้าสู่สมดุลช้ากว่าระบบ wild-type และ R248Q จากการวิเคราะห์ค่า RMSD ใน ระหว่างการศึกษา MD Simulation ของกรดอะมิโนที่เกิดการกลายพันธุ์ พบว่า His175 ในระบบ R175H และ Glu248 ในระบบ R248Q มีค่า RMSD มากกว่า Arg175 และ Arg248 ในระบบ wild-type เนื่องจากทั้ง 2 กรดอะมิโนมีการเปลี่ยนแปลงชนิดของกรดอะมิโน ทำให้ระบบต้องหาโครงสร้างที่เสถียรของกรดอะมิโน ชนิดใหม่ จากการวิเคราะห์การหมุนพันธะพบว่าภายหลังที่ระบบเข้าสู่สภาวะสมดุลแล้ว โครงสร้างของ กรดอะมิโนตำแหน่งที่ 175 ในระบบ wild-type และ R175H ไม่มีการเปลี่ยนแปลงมุมพันธะเกิดขึ้น แต่ กรดอะมิโนตำแหน่งที่ 248 ในระบบ wild-type พบว่ามีค่ามุมพันธะ 2 ค่าที่สามารถเปลี่ยนกลับไปกลับมา ได้ แสดงให้เห็นว่ามี 2 โครงสร้างที่สภาวะสมดุล ส่วนในกรณีของกรดอะมิโนตำแหน่ง 248 ในระบบ R248Q พบว่ามีการเปลี่ยนแปลงมุมพันธะที่เวลา 2750 ps ซึ่งมีผลทำให้เกิดการเปลี่ยนแปลงโครงสร้างใน สภาวะสมดุล จากการวิเคราะห์หาพันธะไฮโดรเจนระหว่างโปรตีน p53 กับดีเอ็นเอ พบว่ามีพันธะไฮโดรเจน เกิดขึ้นในระบบ wild-type, R175H และ R248Q เป็นจำนวน 12, 20 และ 8 พันธะตามลำดับ ซึ่งในระบบ R175H มีพันธะไฮโดรเจนเกิดมากที่สุด และมากกว่าระบบ wild-type เนื่องจากหมู่แทนที่ของ Arg248 ใน ระบบ R175H มีลักษณะแตกต่างจากอีก 2 ระบบ และทำให้สามารถสร้างพันธะไฮโดรเจนกับหมู่ฟอสเฟต ของดีเอ็นเอได้ ในขณะที่อีก 2 ระบบหมู่แทนที่ไม่สามารถสร้างพันธะกับหมู่ฟอสเฟตของดีเอ็นเอได้ จากการ วิเคราะห์หาพันธะไฮโดรเจนระหว่างโปรตีน p53 กับกรดอะมิโนตำแหน่งที่เกิดการกลายพันธุ์ พบว่าเกิด พันธะไฮโดรเจนที่ตำแหน่ง Arg175 ในระบบ wild-type เพียงระบบเดียว ส่วนระบบ R175H R248Q ไม่พบพันธะไฮโดรเจน แสดงว่าการกลายพันธุ์ของทั้ง 2 ระบบมีผลต่อการยึดจับระหว่างกรดอะ ู้มิโนตำแหน่งที่ 175 และ 248 กับโปรตีน p53 จากการวิเคราะห์การกระจายตัวของน้ำในแนวรัศมีที่ล้อมรอบ กรดอะมิโนที่เกิดการกลายพันธุ์ทั้ง 3 ระบบ พบว่าทั้ง 3 ระบบไม่พบน้ำที่มีความสำคัญกับสารประกอบ เชิงซ้อนโปรตีน p53 กับดีเอ็นเอ

จากการวิเคราะห์ค่าพลังงานในการยึดจับ พบว่าระบบ wild-type มีค่าพลังงานในการยึดจับต่ำที่สุด แสดงว่าโครงสร้างมีความเสถียรมากที่สุด ซึ่งระบบ R175H และ R248Q มีค่าพลังงานในการยึดจับสูง กว่า ทำให้โครงสร้างมีความเสถียรน้อยกว่า ทั้งนี้เกิดจากการกลายพันธุ์ที่มีผลทำให้ความสามารถ ในการ ยึดจับลดลง จากการวิเคราะห์กรดอะมิโนที่อยู่ล้อมรอบไอออน Zn²+ ทั้งหมด 4 ตำแหน่ง ได้แก่ Cys176, Cys238, Cys242 และ His179 พบว่ามีการหมุนของพันธะใน Cys238 ส่งผลให้โครงสร้างของ Cys238 มี การเปลี่ยนแปลง และลักษะของการเปลี่ยนแปลงก็มีความสอดคล้องกันกับค่า RMSD ด้วย และยังพบว่า เมื่อทำ MD Simulation ระยะห่างระหว่าง Cys238 กับ Zn²+ มีค่ามากขึ้น ซึ่งอาจเกิดจากโครงสร้างที่ เปลี่ยนแปลงไปของ Cys238 เมื่อพิจารณากรดอะมิโนแต่ละตำแหน่งโดยรวมแล้ว พบว่ามีค่า RMSD ต่ำ กว่า 1 Å ซึ่งถือว่าโครงสร้างที่ได้จากการทำ MD Simulation ไม่มีการเปลี่ยนแปลงไปจากโครงสร้างเริ่มต้น มากนัก

#### ข้อเสนอแนะสำหรับงานวิจัยในอนาคต

- 1. เนื่องจากโปรตีน p53 จัดอยู่ในกลุ่มของยืนต้านมะเร็ง (tumor suppressor gene) โดยจะทำ หน้าที่ตรวจสอบและซ่อมแซม DNA ที่ระยะ G1 ในวัฏจักรเซลล์ก่อนเข้าสู่ระยะ S หาก ซ่อมแซมไม่ได้ก็จะทำให้เซลล์ตายด้วยกระบวนการที่เรียกว่า apoptosis หรือหากความผิดปกติ ของ DNA ร้ายแรงเกินกว่าจะแก้ไขได้ก็จะหยุดวงจรการเจริญเติบโตของเซลล์ที่ระยะ G1 ซึ่ง กระบวนการควบคุมต่างๆ เหล่านี้ผ่านการมีปฏิสัมพันธ์ระหว่างโปรตีน p53 กับลำดับ DNA ที่ จำเพาะ ซึ่งกลไกการตรวจสอบ DNA ของโปรตีน p53 ยังไม่เป็นที่ทราบชัดเจน ดังนั้นจึง น่าสนใจเป็นอย่างยิ่งที่จะศึกษาเปรียบเทียบการยึดจับและสมบัติต่างๆ ของสารประกอบเชิงซ้อน ระหว่างโปรตีน p53 กับ DNA ที่ปกติและผิดปกติ เพื่อที่จะได้ทราบความแตกต่างในยึดจับ ระหว่างโปรตีน p53 กับ DNA ที่ปกติและผิดปกติ นอกจากนี้ยังจะเข้าใจถึงการทำงานของ โปรตีน p53 มากขึ้นด้วย
- 2. โปรตีน p53 ประกอบด้วยกรดอะมิโนทั้งสิ้น 393 กรดอะมิโน โดยแบ่งออกเป็น 3 ส่วนตามหน้าที่ คือ N-terminal domain, Central domain และ C-terminal domain ซึ่งบริเวณ Central domain หรือ Cord domain จะเป็นบริเวณที่มีการสัมผัสกับ DNA ในการตรวจสอบความผิดปกติของ DNA ดังนั้นบริเวณ Central domain จึงเป็นบริเวณที่สำคัญที่สุดต่อการทำงานของโปรตีน p53 โดยบริเวณ Central domain จะทำงานในรูป tetramer ดังนั้นการศึกษาต่างๆ เกี่ยวกับบริเวณ Central domain ของโปรตีน p53 จึงควรศึกษาในรูปที่เป็น tetramer

#### Output จากโครงการวิจัยที่ได้รับทุนจาก สกว.

- 1. การนำผลงานวิจัยไปใช้ประโยชน์เชิงวิชาการ
  - มีการพัฒนาการเรียนการสอน
  - งานวิจัยนี้ได้ใช้การศึกษาบางส่วนเป็นปริญญานิพนธ์ในระดับปริญญาตรีของนักศึกษา สาขาเคมีประยุกต์ คณะวิทยาศาสตร์ มหาวิทยาลัยรังสิต
- 2. การเสนอผลงานในที่ประชุมวิชาการ
  - นำเสนอผลงานแบบโปสเตอร์ในการประชุมนักวิจัยรุ่นใหม่ พบ เมธีวิจัยอาวุโส สกว.
     ครั้งที่ 9 และครั้งที่ 10
  - นำเสนอผลงานแบบโปสเตอร์ในการประชุมประจำปีกลุ่มวิจัยเมธีวิจัยอาวุโส สกว.
  - นำเสนอผลงานแบบโปสเตอร์ในงานแสดงผลงานวิจัย CHM & BMS ประจำปีการศึกษา 2552 คณะวิทยาศาสตร์ มหาวิทยาลัยรังสิต